

รายงานการวิจัย

การทำเสถียรภาพความถี่แบบคงทนในระบบไฟฟ้ากำลังอิสระที่มีแหล่งจ่าย
พลังงานหมุนเวียนที่ไม่สม่ำเสมอด้วยการควบคุมร่วมกันของโหลดอัจฉริยะ
Robust frequency stabilization in an isolated power system included with
intermittent renewable energy sources by coordinated smart loads control



เลขหมู่.....
เลขทะเบียน.....
วัน, เดือน, ปี.....

121208

26 ส.ย. 2555

b. 1240 920x
i.....

ได้รับทุนสนับสนุนงานวิจัยจากเงินงบประมาณรายได้ประจำปีงบประมาณ 2554

คณะวิศวกรรมศาสตร์

สถาบันเทคโนโลยีพระจอมเกล้าเจ้าคุณทหารลาดกระบัง

บทคัดย่อ

ชื่อโครงการวิจัย (ภาษาไทย) การทำเสถียรภาพความถี่แบบคงทนในระบบไฟฟ้ากำลังอิสระที่มีแหล่งจ่ายพลังงานหมุนเวียนที่ไม่สม่ำเสมอด้วยการควบคุมร่วมกันของโหลดอัจฉริยะ

(ภาษาอังกฤษ) Robust frequency stabilization in an isolated power system included with intermittent renewable energy sources by coordinated smart loads control

ได้รับทุนอุดหนุนจากการวิจัยจาก คณะวิศวกรรมศาสตร์ สถาบันเทคโนโลยีพระจอมเกล้าเจ้าคุณทหารลาดกระบัง ประจำปี 2554 จำนวนเงิน 64,900 บาท

ระยะเวลาทำการวิจัย 1 ปี ตั้งแต่ ตุลาคม 2553 ถึง กันยายน 2554

หน่วยงานและผู้ดำเนินการวิจัยพร้อมหน่วยงานที่สังกัดและเลขหมายโทรศัพท์

รศ. ดร. อิศระชัย งามหุร สาขาวิศวกรรมไฟฟ้า คณะวิศวกรรมศาสตร์ โทร 02-326-8330

บทคัดย่อ

งานวิจัยนี้นำเสนอวิธีการควบคุมความถี่อย่างทนทานด้วยปั๊มความร้อน (Heat pump : HP) และรถไฟฟ้าปลั๊กอินไฮบริด (Plug-in hybrid electric vehicle : PHEV) ในระบบสมาร์ตไมโครกริดซึ่งได้รับผลกระทบจากกำลังไฟฟ้าไม่สม่ำเสมอที่สร้างจากฟาร์มกังหันลม การควบคุมความถี่นี้ทำได้โดยใช้ตัวควบคุมพีไอดีเพื่อควบคุมการรับกำลังไฟฟ้าของกลุ่ม HP และ PHEV ซึ่งติดตั้งในด้านของผู้ใช้ไฟฟ้า ในการหาค่าตัวควบคุมพีไอดีนั้นจะตั้งปัญหาการทำให้เหมาะสมโดยใช้หลักการควบคุมผสม H_2/H_∞ เพื่อทำให้ตัวควบคุมที่ได้มีสมรรถนะและความทนทานสูงต่อการเปลี่ยนแปลงพารามิเตอร์ในระบบ แล้วจึงใช้วิธีกลุ่มอนุภาคเพื่อค้นหาค่าพีไอดีที่เหมาะสม ผลการจำลองคอมพิวเตอร์แสดงให้เห็นว่าตัวควบคุมการรับกำลังไฟฟ้าของ HP และ PHEV ที่นำเสนอ นั้นมีสมรรถนะในการควบคุมและความทนทานต่อการเปลี่ยนแปลงของพารามิเตอร์ระบบสูงกว่าตัวควบคุมเปรียบเทียบ

คำสำคัญ: สมาร์ตไมโครกริด, ปั๊มความร้อน, รถไฟฟ้าปลั๊กอินไฮบริด, การควบคุมโหลด-ความถี่, การควบคุมผสม H_2/H_∞ , วิธีกลุ่มอนุภาค

Abstract

This paper presents a robust frequency control by heat pumps (HP) and plug-in hybrid electric vehicles (PHEV) in a smart microgrid with wind farm. The intermittent power generation from wind farm causes frequency fluctuations in the microgrid. To alleviate frequency fluctuations, the power charge control of HP and PHEV can be applied. The proportional-integral-derivative (PID) structure is selected as the power charge controller of HP and PHEV. The PID parameters optimization problem is formulated based on a mixed H_2/H_∞ control. The particle swarm optimization (PSO) is used to solve for PID parameters. Simulation results confirm that the proposed HP and PHEV controller is much superior to the conventional controller in terms of control performance and robustness against system parameters variation.

Keywords: Smart microgrid, Heat pump, Plug-in hybrid electric vehicle, Load-frequency control, Mixed H_2/H_∞ control, Particle swarm optimization

เอกสารนี้เป็นเอกสารที่สงวนไว้สำหรับการใช้งานเพื่อการศึกษาเท่านั้น ไม่อนุญาตให้นำไปใช้ประโยชน์ด้านการค้าไม่ว่ากรณีใดๆทั้งสิ้น อีกทั้งห้ามมิให้ดัดแปลงเนื้อหา และต้องอ้างอิงถึงเจ้าของเอกสารทุกครั้งที่มีการนำไปใช้

หน้าสรุปโครงการ

ปัญหาที่ทำการวิจัย และความสำคัญของปัญหา

ปัจจุบัน ปัญหาสภาวะโลกร้อนที่เกิดจากการปลดปล่อยก๊าซเรือนกระจกของโรงจักรไฟฟ้าที่ใช้เชื้อเพลิงประเภทฟอสซิล ระบบขนส่ง โรงงานอุตสาหกรรม เป็นต้นนั้น ก่อให้เกิดผลกระทบต่อด้านลบอย่างรุนแรงต่อสภาพแวดล้อม ความเป็นอยู่ของมนุษย์ สังคม เศรษฐกิจ ตลอดจนการพัฒนาประเทศ ดังนั้นทั่วโลกจึงให้ความสนใจอย่างมากต่อการแก้ปัญหาสภาวะโลกร้อน ไม่ว่าจะเป็นการร่วมกันประหยัดพลังงาน การใช้ทรัพยากรพลังงานอย่างมีคุณค่า โดยเฉพาะอย่างยิ่งการวางยุทธศาสตร์เพื่อหาแหล่งพลังงานทดแทน เช่น แสงอาทิตย์ ลม แหล่งน้ำขนาดเล็ก ชีวมวล โคเจนเนอเรชั่น เป็นต้น เพื่อผลิตไฟฟ้าจ่ายเข้ามาในระบบไฟฟ้ากำลัง สำหรับประเทศไทยนั้น เป้าหมายภายใต้แผนพัฒนาพลังงานทดแทน 15 ปีที่กำหนดโดยกระทรวงพลังงาน คือในปี 2566 ให้ผลิตพลังงานไฟฟ้าได้จากแหล่งพลังงานทดแทน 5,608 MW จากปัจจุบันซึ่งมีประมาณ 1,752 MW อย่างไรก็ตาม เมื่อแหล่งพลังงานทดแทนจำพวกลมและแสงอาทิตย์ซึ่งกำลังไฟฟ้าที่ผลิตได้นั้นขึ้นอยู่กับสภาพอากาศมีสัดส่วนการผลิตไฟเข้ามาในระบบเพิ่มมากขึ้น จะทำให้เกิดปัญหาต่างๆในระบบไฟฟ้ากำลังได้ เช่น ผลกระทบต่อการเปลี่ยนแปลงของควมถี่ระบบ, คุณภาพของกำลังไฟฟ้า, แรงดันที่ไม่สม่ำเสมอในระบบจำหน่าย, ขนาดของกระแสลัดวงจรที่เพิ่มขึ้น, กำลังไฟฟ้าสำรองในระบบ, เสถียรภาพของระบบ เป็นต้น

ยกตัวอย่างปัญหาผลกระทบที่เกิดขึ้นในยุโรป ระบบไฟฟ้ากำลังของแต่ละประเทศในยุโรปนั้นเชื่อมต่อกันด้วยสายส่งเชื่อมโยงจึงทำให้ระบบไฟฟ้ากำลังโดยรวมนั้นมีขนาดใหญ่มาก นอกจากนี้ยังมีการติดตั้งแหล่งจ่ายกำลังไฟฟ้าด้วยพลังงานทดแทนโดยเฉพาะอย่างยิ่งพลังงานลมเป็นจำนวนมากโดยไม่ได้เตรียมมาตรการเพื่อลดผลกระทบของแหล่งพลังงานลมต่อระบบไว้อย่างดีพอ จึงส่งผลให้เกิดปัญหาต่างๆขึ้นตามมา เช่น ในวันที่ 4 พฤศจิกายน ปี 2006 ได้เกิดไฟฟ้าดับเป็นบริเวณกว้างทั่วยุโรป โดยสาเหตุส่วนหนึ่งนั้นเกิดจากการคาดคะเนขนาดของกำลังไฟฟ้าที่ผลิตได้จากพลังงานลมซึ่งทำได้ยาก เมื่อมีความผิดพลาดเกิดขึ้นในระบบจึงทำให้ระบบสูญเสียเสถียรภาพเป็นผลให้เกิดไฟฟ้าดับ ดังนั้น ในปัจจุบันประเทศในยุโรปจึงเริ่มออกมาตรการต่างๆมาเพื่อป้องกันและเพิ่มเสถียรภาพระบบให้มากขึ้น สำหรับประเทศของเรานั้น ปัจจุบันขนาดของกำลังไฟฟ้าที่ผลิตได้จากแหล่งจ่ายพลังงานลมและแสงอาทิตย์มีเพียง 3.5 MW และ 32 MW ตามลำดับ กระทรวงพลังงานจึงตั้งเป้าหมายภายใต้แผนพัฒนาพลังงานทดแทน 15 ปีว่าในปี 2565 จะให้มีกำลังไฟฟ้าที่ผลิตจากพลังลม 800 MW และ พลังแสงอาทิตย์อยู่ที่ 500 MW แสดงให้เห็นว่าผลกระทบของแหล่งจ่ายพลังงานลมและแสงอาทิตย์ต่อระบบไฟฟ้ากำลังนั้นมีแนวโน้มสูงขึ้นในอนาคต จึงต้องมีการศึกษาปัญหาผลกระทบของแหล่งพลังงานที่มีกำลังไฟฟ้าไม่สม่ำเสมอเหล่านี้เพื่อหามาตรการป้องกันปัญหาที่จะเกิดขึ้นในระบบอย่างจริงจัง นอกจากนี้ในประเทศไทยยังมีแหล่งน้ำขนาดเล็กย่อยกระจายอยู่ทั่วประเทศเป็นบริเวณกว้างซึ่งสามารถนำมาใช้ประโยชน์ในการผลิตไฟฟ้าพลังน้ำได้ หากสามารถบริหารจัดการและควบคุมได้อย่างมีประสิทธิภาพ

ในทางตรงกันข้าม สำหรับทางด้านผู้ใช้ไฟฟ้านั้น มาตรการต่างๆเพื่อสร้างความร่วมมือและแรงจูงใจด้านการประหยัดพลังงานและการลดการปล่อยก๊าซเรือนกระจกได้มีออกมาเป็นจำนวนมากโดยภาครัฐ นอกจากนี้ยังมีการสนับสนุนการใช้และพัฒนาอุปกรณ์ประหยัดพลังงานต่างๆ ที่มีประสิทธิภาพสูงเช่น ระบบปั๊มความร้อน ไฟฟ้าไฮบริด เป็นต้น เนื่องจากอุปกรณ์เหล่านี้นอกจากเป็นมิตรกับสิ่งแวดล้อมแล้วยังสามารถควบคุมกำลังไฟฟ้าที่รับเข้าไปได้อีกด้วย จึงคาดได้ว่าอุปกรณ์เหล่านี้จะมีจำนวนเพิ่มมากขึ้นในอนาคต

เพื่อแก้ปัญหาต่างๆที่จะเกิดขึ้นในระบบไฟฟ้ากำลังในอนาคต จึงได้มีแนวคิดในการควบคุมระบบไฟฟ้ากำลังอย่างชาญฉลาดขึ้นโดยบูรณาการเทคโนโลยีโครงข่ายทางด้านสื่อสารข้อมูลแบบสองทาง (Two Ways Communication Network), เครื่องกำเนิดไฟฟ้าแบบกระจายที่ควบคุมได้ (Controllable Distributed Generators), อุปกรณ์ Flexible AC Transmission Systems (FACTS) และแบตเตอรี่ขนาดใหญ่ซึ่งประยุกต์ใช้เทคโนโลยีอิเล็กทรอนิกส์กำลัง มาร่วมกันทำงานกับอุปกรณ์ไหลตของผู้ใช้ไฟฟ้า แหล่งจ่ายไฟฟ้าด้วยพลังงานทดแทนเช่นลมและแสงอาทิตย์ซึ่งกำลังไฟฟ้าที่ได้ขึ้นอยู่กับสภาพอากาศ ซึ่งแนวคิดนี้ก็คือการสร้างโครงข่ายระบบส่งไฟฟ้าอัจฉริยะหรือสมาร์ทกริด (Smart grid) ขึ้นมานั่นเอง

ในงานวิจัยนี้จะพิจารณาผลกระทบของแหล่งพลังลมและแสงอาทิตย์ต่อการเปลี่ยนแปลงความถี่ระบบในกรณีที่จำนวนเครื่องกำเนิดไฟฟ้าที่ทำหน้าที่ควบคุมความถี่ (Load Frequency Control, LFC) ซึ่งติดตั้งอยู่ในระบบไฟฟ้ากำลังอิสระนั้นมีไม่เพียงพอในขณะที่แหล่งจ่ายกำลังไฟฟ้าจากพลังลมและแสงอาทิตย์นั้นมีจำนวนมาก เพื่อช่วยแบ่งเบาภาระการทำงานของเครื่องกำเนิดไฟฟ้า LFC งานวิจัยนี้นำเสนอแนวคิดใหม่ในการประยุกต์ใช้อุปกรณ์ไหลตที่สามารถควบคุมกำลังไฟฟ้าได้ในระบบจำหน่ายมาร่วมกันทำเสถียรภาพความถี่ของระบบไฟฟ้ากำลังอิสระ โดยจะพิจารณากลุ่มไหลตจำพวก รถไฟฟ้าไฮบริดแบบปลั๊กอิน (PHEV) และปั๊มความร้อน (HP) ให้เป็นไหลตอัจฉริยะที่ควบคุมได้ เนื่องจากอุปกรณ์เหล่านี้นอกจากเป็นมิตรกับสิ่งแวดล้อมแล้วยังสามารถควบคุมกำลังไฟฟ้าที่รับเข้าไปได้อีกด้วย จึงคาดว่าอุปกรณ์เหล่านี้จะมีจำนวนเพิ่มมากขึ้นในอนาคต คุณลักษณะของอุปกรณ์เหล่านี้ในการนำมาประยุกต์ใช้ควบคุมความถี่

วัตถุประสงค์ของโครงการ

1. เพื่อเสนอองค์ความรู้ใหม่ในการพัฒนาอุปกรณ์ไหลตที่ควบคุมกำลังไฟฟ้าให้เป็นไหลตอัจฉริยะสำหรับระบบสมาร์ทกริด โดยในที่นี้จะพิจารณารถไฟฟ้าไฮบริดแบบปลั๊กอินและปั๊มความร้อน เพื่อทำเสถียรภาพความถี่ในระบบไฟฟ้ากำลังอิสระที่มีแหล่งจ่ายพลังงานหมุนเวียนที่ผลิตกำลังไฟฟ้าไม่สม่ำเสมอได้แก่ฟาร์มพลังงานลมและฟาร์มโซลาร์
2. เพื่อนำเสนอวิธีออกแบบการควบคุมร่วมกันแบบคงทน (Coordinated Robust Control) ระหว่างไหลตอัจฉริยะและเครื่องกำเนิดไฟฟ้าที่ใช้ในทำหน้าที่ควบคุมความถี่ เพื่อใช้ในการทำเสถียรภาพความถี่

องค์ความรู้ใหม่ที่คาดว่าจะได้จากโครงการวิจัย

1. การประยุกต์ใช้ไหลตอัจฉริยะ ได้แก่ รถไฟฟ้าไฮบริดแบบปลั๊กอิน, ปั๊มความร้อน เพื่อทำเสถียรภาพทางความถี่แบบคงทนในระบบไฟฟ้ากำลังที่มีแหล่งจ่ายพลังงานหมุนเวียนที่ไม่สม่ำเสมอ
2. วิธีการควบคุมร่วมกันแนวใหม่ระหว่างรถไฟฟ้าไฮบริดแบบปลั๊กอินและปั๊มความร้อน เพื่อทำเสถียรภาพทางความถี่แบบคงทนในระบบไฟฟ้ากำลังอิสระ

ระเบียบวิธีวิจัย

1. พิจารณาเลือกระบบไฟฟ้ากำลังอิสระซึ่งประกอบไปด้วยเครื่องกำเนิดไฟฟ้า LFC เครื่องกำเนิดที่ไม่สามารถควบคุมกำลังไฟฟ้าได้ แหล่งจ่ายกำลังไฟฟ้าที่ใช้พลังงานลมและแสงอาทิตย์ ไหลต PHEV, EV และไหลตปรกติ

เอกสารนี้เป็นเอกสารที่สงวนไว้สำหรับการใช้งานเพื่อการศึกษาเท่านั้น ไม่อนุญาตให้นำไปใช้ประโยชน์ด้านการค้าไม่ว่ากรณีใดๆทั้งสิ้น อีกทั้งห้ามมิให้ดัดแปลงเนื้อหา และต้องอ้างอิงถึงเจ้าของเอกสารทุกครั้งที่มีการนำไปใช้

2. ศึกษาการสร้างแบบจำลองคณิตศาสตร์ของแต่ละอุปกรณ์ในระบบสำหรับการทำเสถียรภาพทางความถี่ โดยเฉพาะโหลด PHEV และ HP
3. ศึกษาแบบจำลองความไม่แน่นอนในระบบ อันเนื่องมาจากการผลิตกำลังไฟฟ้าอันเนื่องมาจากแหล่งจ่ายพลังงานลมและแสงอาทิตย์ การเปลี่ยนแปลงของโหลดที่ไม่สามารถคาดเดาได้ ผลของเวลาล่าช้า เนื่องจากการสื่อสารข้อมูล เป็นต้น โดยประยุกต์ใช้ทฤษฎีการควบคุมแบบคงทน
4. เลือกโครงสร้างตัวควบคุมความถี่ที่เหมาะสมสำหรับเครื่องกำเนิดไฟฟ้า LFC, PHEV และ HP
5. สร้างปัญหาการทำให้เหมาะสมสำหรับพารามิเตอร์ของตัวควบคุมความถี่โดยพิจารณาผลของความคงทนต่อความไม่แน่นอนในระบบ
6. ศึกษาวิธีการแก้ปัญหาการทำให้เหมาะสมด้วยวิธีฮิวริสติกเพื่อแก้ปัญหาหาค่าพารามิเตอร์ของตัวควบคุมที่เหมาะสม
7. ทดสอบผลการทำเสถียรภาพของตัวควบคุมที่ออกแบบมาโดยการจำลองทางคอมพิวเตอร์ภายใต้การเกิดสิ่งรบกวนระบบและความไม่แน่นอนต่างๆในระบบเช่น การเปลี่ยนแปลงกำลังไฟฟ้าที่เกิดจากพลังงานลมและแสงอาทิตย์ รวมไปถึงกำลังไฟฟ้าที่โหลดโดยเปรียบเทียบกับตัวควบคุมที่ใช้งานกันอยู่
8. สรุปผลการศึกษาวิจัยเพื่อเขียนงานวิจัยเพื่อส่งการประชุมวิชาการระดับนานาชาติ

ผลงานวิจัย

การประชุมวิชาการระดับนานาชาติ

Chalotorn Rattanapornchai, Issarachai Ngamroo and Sitthidet Vachirasricirikul

"Robust frequency control in the smart microgrid by heat pump and plug-in hybrid electric vehicle"
Proceedings of IASTED Technology and Management Conferences 2010, Power and Energy Systems, (AsiaPES 2010), 24-26 November 2010, Phuket, Thailand, no. 701-146.

การประชุมวิชาการระดับชาติ

ชโลธร รัตนพรชัย, อิศระชัย งามจรูญ, ธีรวุฒิ ไชยธรรม และ สิทธิเดช วชิราศิริกุล

"การควบคุมความถี่อย่างทนทานในระบบสมาร์ตไมโครกริดโดยใช้ปั๊มความร้อนและรถไฟฟ้าปลั๊กอินไฮบริด"
งานวิจัยรับเชิญสาขาไฟฟ้ากำลัง การประชุมวิชาการวิศวกรรมไฟฟ้าครั้งที่ 33 (EECON 33) 1 – 3 ธันวาคม 2553 เชียงใหม่

งานวิจัยทั้งสองได้แนบไว้ในภาคผนวก

การทำเสถียรภาพความถี่แบบคงทนในระบบไฟฟ้ากำลังอิสระที่มีแหล่งจ่ายพลังงานหมุนเวียนที่ไม่สม่ำเสมอด้วยการควบคุมร่วมกันของโหลดอัจฉริยะ

1. บทนำ

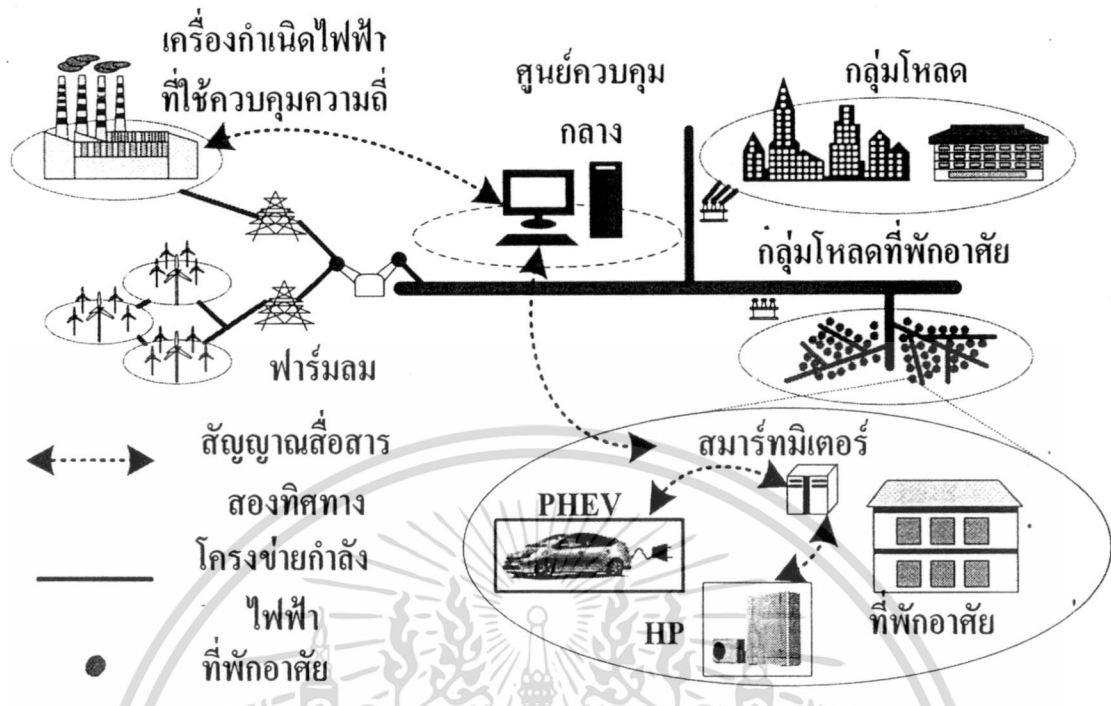
ปัจจุบัน ระบบไมโครกริดได้รับความสนใจอย่างสูงในการผลิตกำลังไฟฟ้าเพื่อจ่ายให้กับโหลดในสถานที่ซึ่งไม่สามารถต่อเข้าถึงระบบไฟฟ้ากำลังหลักได้ โดยทั่วไประบบไมโครกริดประกอบไปด้วยเครื่องกำเนิดไฟฟ้าซึ่งจ่ายกำลังไฟฟ้าร่วมกับแหล่งพลังงานหมุนเวียนเช่นลมและแสงอาทิตย์ เป็นต้น เนื่องจากกำลังไฟฟ้าที่สร้างจากแหล่งพลังงานลมและแสงอาทิตย์นั้นไม่สม่ำเสมอจึงทำให้เกิดการแกว่งของความถี่ขึ้นในระบบได้ [1]

ส่วนในด้านผู้ใช้ไฟฟ้านั้น มีแนวโน้มสูงในอนาคตที่จะมีการติดตั้งอุปกรณ์ประหยัดพลังงานที่มีประสิทธิภาพสูงและเป็นมิตรต่อสิ่งแวดล้อมเช่น ปั๊มความร้อน (HP) และรถไฟฟ้าปลั๊กอินไฮบริด (PHEV) เพิ่มมากขึ้น อุปกรณ์เหล่านี้เป็นองค์ประกอบสำคัญในระบบไฟฟ้ากำลังอัจฉริยะหรือสมาร์ทกริด [2] เนื่องจาก HP และ PHEV มีคุณสมบัติที่สามารถควบคุมการรับกำลังไฟฟ้าจากระบบ ดังนั้นจึงสามารถประยุกต์ใช้อุปกรณ์เหล่านี้ไปช่วยควบคุมความถี่ของระบบได้

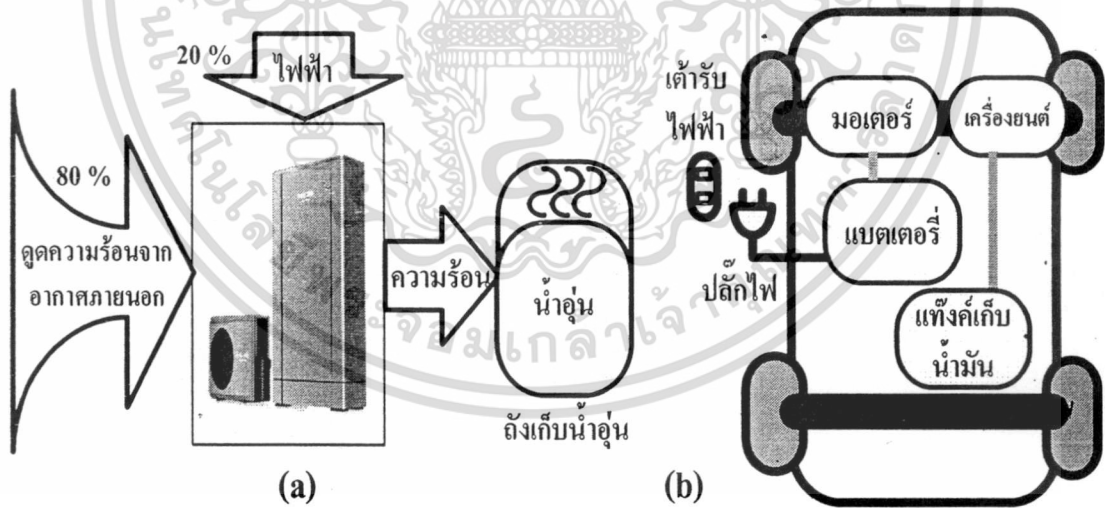
งานวิจัยนี้นำเสนอวิธีการควบคุมการรับกำลังไฟฟ้าของ HP และ PHEV ซึ่งติดตั้งอยู่ในกลุ่มที่พักอาศัยเพื่อใช้ในการลดการแกว่งความถี่อย่างทนทานในระบบสมาร์ทไมโครกริดซึ่งติดตั้งฟาร์มกังหันลมในที่นี้จะกำหนดโครงสร้างตัวควบคุมการรับกำลังไฟฟ้าของ HP และ PHEV เป็นแบบพีไอดี ในการตั้งปัญหาการทำให้เหมาะสมของตัวควบคุมพีไอดีนั้นจะใช้หลักการควบคุมผสม H_2/H_∞ [3] เพื่อรับรองด้านสมรรถนะการควบคุมและความทนทานต่อความไม่แน่นอนในระบบ การหาค่าพีไอดีที่เหมาะสมจะทำได้ด้วยวิธีกลุ่มอนุภาค (PSO) [4] ผลการจำลองทางคอมพิวเตอร์แสดงให้เห็นว่า ตัวควบคุมการรับกำลังไฟฟ้าของ HP และ PHEV ที่นำเสนออยู่นั้นนอกจากจะมีสมรรถนะสูงในการควบคุมความถี่แล้วยังมีความทนทานต่อการเปลี่ยนแปลงพารามิเตอร์ของระบบเหนือกว่าตัวควบคุมเปรียบเทียบ

2. ระบบไฟฟ้ากำลังที่ศึกษาและแบบจำลองระบบ

รูปที่ 1 แสดงระบบไมโครกริดอิสระ [5] ที่ใช้ศึกษาซึ่งประกอบด้วยเครื่องกำเนิดไฟฟ้าที่ใช้ควบคุมความถี่ได้ (Load frequency control, LFC) ขนาด 20 MW, ฟาร์มกังหันลม 6 MW, กลุ่มโหลด 17 MW ในกลุ่มบ้านพักอาศัยมีการติดตั้ง HP มีพิกัดกำลังตัวละ 4.4 kW ทั้งหมด 400 ตัวคิดเป็น 1.76 MW และ PHEV มีพิกัดกำลังตัวละ 5 kW ทั้งหมด 720 ตัวคิดเป็น 3.6 MW รวมพิกัดกำลังของ HP และ PHEV ทั้งหมดเป็น 5.36 MW เนื่องจากกำลังไฟฟ้าที่ไม่สม่ำเสมอซึ่งสร้างจากฟาร์มกังหันลมและการเปลี่ยนแปลงของโหลดทำให้เกิดการแกว่งของความถี่ในระบบ เพื่อลดการแกว่งของความถี่ ศูนย์ควบคุมกลางทำหน้าที่ส่งสัญญาณควบคุมการรับกำลังไฟฟ้าผ่านมิเตอร์อัจฉริยะหรือสมาร์ทมิเตอร์ แล้วส่งต่อไปยัง HP และ PHEV ในเวลาเดียวกันศูนย์ควบคุมจะส่งสัญญาณควบคุมไปที่ตัวควบคุมความถี่ซึ่งติดตั้งอยู่กับเครื่องกำเนิดไฟฟ้าเพื่อปรับกำลังไฟฟ้าขาออกให้เหมาะสมด้วย



รูปที่ 1 ระบบสมาร์ทไมโครกริด



รูปที่ 2 (a) ป้ม้ความร้อน (b) รถไฟฟ้าปลั๊กอินไฮบริด

เอกสารนี้เป็นเอกสารที่สงวนไว้สำหรับการใช้งานเพื่อการ 6 ษาเท่านั้น ไม่อนุญาตให้นำไปใช้ประโยชน์ด้านการค้า
 ไม่จำกัดใดๆทั้งสิ้น อีกทั้งห้ามมิให้ดัดแปลงเนื้อหา และต้องอ้างอิงถึงเจ้าของเอกสารทุกครั้งที่มีการนำไปใช้

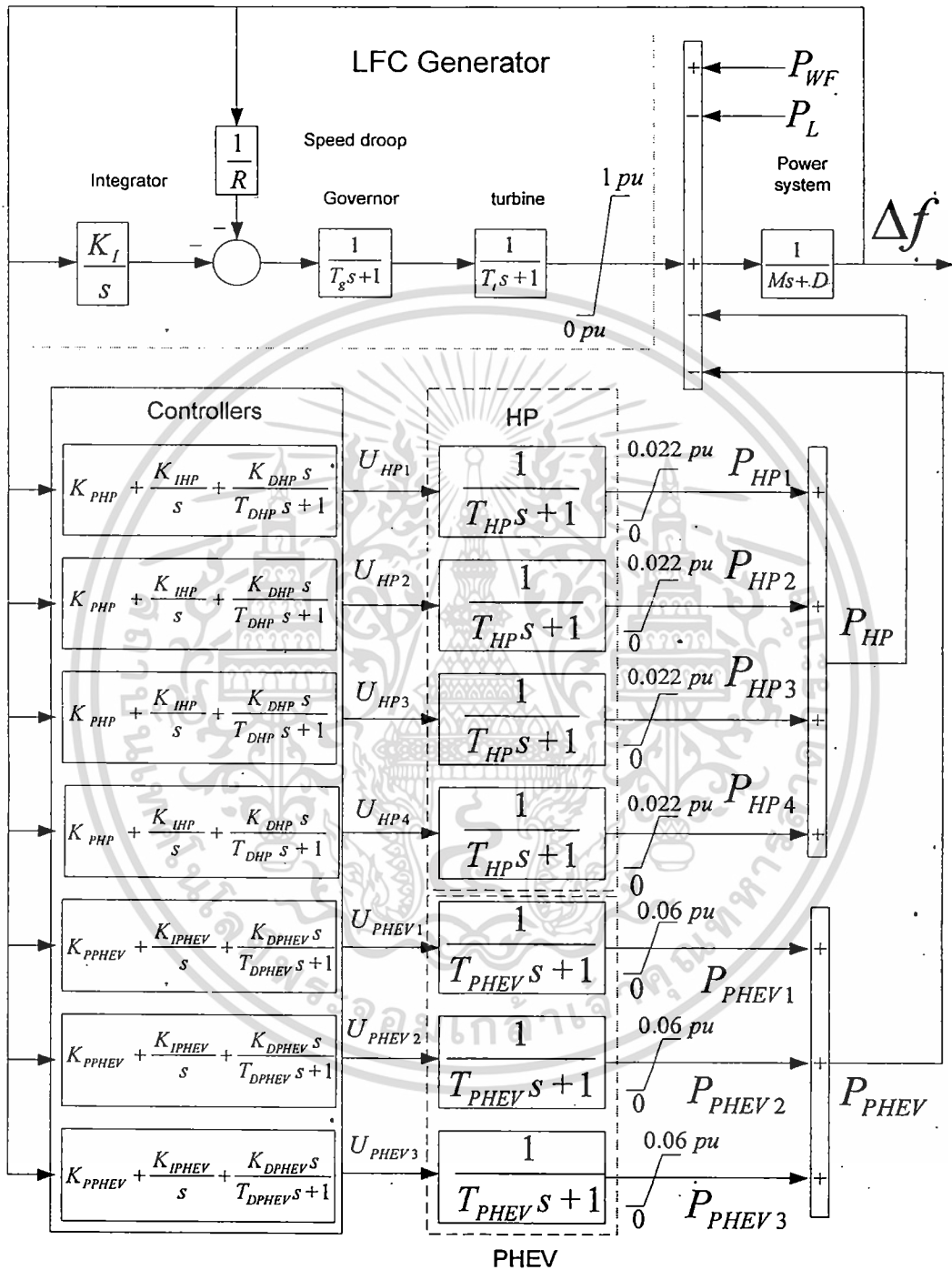
รูปที่ 2 (a) แสดงหลักการของ HP [6] ซึ่งเป็นอุปกรณ์ที่ใช้ดึงความร้อนจากที่อุณหภูมิต่ำไปที่อุณหภูมิสูง สามารถนำมาใช้เพื่อทำความร้อนหรือทำน้ำอุ่นได้ HP จึงเป็นอุปกรณ์ที่สามารถดึงพลังงานความร้อนที่อยู่ในอากาศรอบตัวเราเป็นเสมือนเชื้อเพลิงมาใช้สร้างความร้อนโดยไม่ต้องสร้างความร้อนจากการเผาไหม้ของเชื้อเพลิงโดยตรง ดังนั้น นอกจาก HP จะเป็นอุปกรณ์ประหยัดพลังงานแล้วยังช่วยลดสภาวะโลกร้อนอีกด้วย หลักการทำงานของ HP สำหรับเครื่องทำน้ำอุ่นคือ HP จะดูดความร้อนจากอากาศภายนอกเข้ามา 80 % และใช้ไฟฟ้า 20 % สำหรับระบบคอมเพรสเซอร์ภายในเพื่ออัดอากาศให้มีอุณหภูมิสูงขึ้น ทำให้ได้ความร้อนที่อุณหภูมิสูงออกมาใช้สำหรับทำน้ำอุ่นซึ่งเก็บอยู่ในถัง โดยทั่วไปการใช้ไฟฟ้าของ HP นั้นจะคงที่ที่กำลังไฟฟ้าพิกัด สำหรับในงานวิจัยนี้ ถ้าสมมติว่าน้ำอุ่นที่เก็บสำรองอยู่ในถังเก็บนั้นมีปริมาณเพียงพอกับการใช้งานของผู้ใช้ ดังนั้นกำลังไฟฟ้าที่รับเข้ามาเพื่อใช้สำหรับทำน้ำอุ่นจึงสามารถเปลี่ยนแปลงได้ และการควบคุมการรับกำลังไฟฟ้าของกลุ่มโหลด HP อย่างเหมาะสมทำให้ส่งผลไปควบคุมความถี่ของระบบได้ รูปที่ 2(b) แสดงโครงสร้างของ PHEV ซึ่งสามารถชาร์จกำลังไฟฟ้าเข้าแบตเตอรี่ได้ด้วยการต่อปลั๊กไฟเข้าเต้ารับไฟฟ้า แนวคิดที่ใช้ในงานวิจัยนี้คือเมื่อพิจารณากลุ่มของ PHEV จำนวนมากซึ่งติดตั้งอยู่ในด้านผู้ใช้ไฟหรือที่จอดรถอัจฉริยะ (Smart park) โดยการควบคุมการชาร์จกำลังไฟฟ้าที่เข้าแบตเตอรี่ของ PHEV ทุกคันอย่างเหมาะสม ทำให้สามารถใช้ PHEV ไปช่วยควบคุมความถี่ของระบบได้

รูปที่ 3 แสดงระบบไมโครกริดสำหรับการควบคุมความถี่ซึ่งติดตั้ง HP 4 ชุดๆละ 100 ตัวและ PHEV 3 ชุดๆละ 240 ตัว โดยแทนแบบจำลอง HP และ PHEV ด้วยฟังก์ชันถ่ายโอนอันดับหนึ่งที่มีค่าเวลาคงตัว $T_{HP} = T_{PHEV} = 0.2$ s ในที่นี้กำหนดโครงสร้างของตัวควบคุมการรับกำลังไฟฟ้าของ HP และ PHEV เป็นแบบพีไอดี ให้ HP และ PHEV ทำงานร่วมกันระบบกังหัน (Turbine, TB) และโกเวอร์นอร์ (Governor, GOV) ที่ติดตั้งอยู่กับเครื่องกำเนิดไฟฟ้า เนื่องจาก HP และ PHEV มีค่าเวลาคงตัวน้อยกว่าค่าเวลาคงตัวของ TB มาก ($T_T = 2$ s) จึงไม่คิดผลของ TB และ GOV ในการออกแบบตัวควบคุม HP และ PHEV แนวคิดที่ใช้ในการออกแบบคือให้ HP และ PHEV ทำหน้าที่ลดความถี่ในสภาวะชั่วคราวหลังจากนั้นจึงให้ TB และ GOV กำจัดค่าผิดพลาดความถี่ในสภาวะคงตัว จากรูปที่ 3 สามารถหาสมการสถานะ (State equation) ของระบบที่ไม่คิดผล TB และ GOV เพื่อนำมาออกแบบค่า $K_{PHP}, K_{HP}, K_{DHP}, T_{DHP}$ สำหรับ HP และ $K_{PPHEV}, K_{IPHEV}, K_{DPHEV}, T_{DPHEV}$ สำหรับ PHEV ตามลำดับ

3. การปรับค่าพีไอดีที่เหมาะสมด้วยการควบคุมผสม H_2/H_∞

จุดประสงค์ของการออกแบบตัวควบคุมพีไอดีคือ

1. ให้ตัวควบคุมมีความทนทานสูงต่อความไม่แน่นอนของระบบเนื่องมาจากการเปลี่ยนแปลงพารามิเตอร์ต่างๆในระบบ
2. ให้ตัวควบคุมมีสมรรถนะสูงในการลดความเบี่ยงเบนความถี่ Δf เพื่อให้บรรลุได้ทั้งสองจุดประสงค์ สามารถตั้งปัญหาการปรับค่าพีไอดีให้เหมาะสมด้วยหลักการควบคุมผสม H_2/H_∞ และวิธีกลุ่มอนุภาคซึ่งอธิบายได้ดังนี้

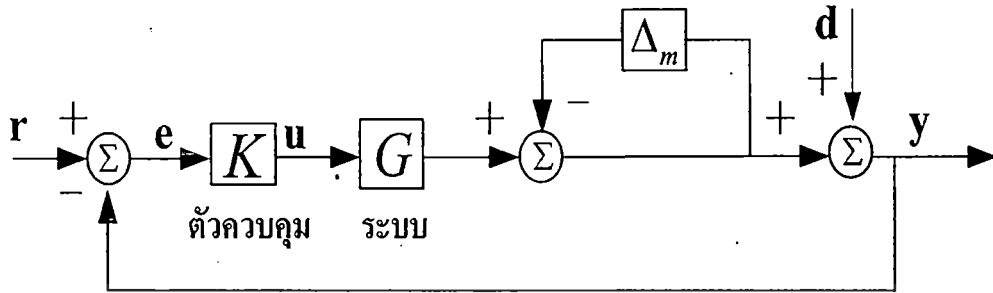


รูปที่ 3 แบบจำลองเชิงเส้นระบบไมโครกริดซึ่งติดตั้ง HP และ PHEV

เอกสารนี้เป็นเอกสารที่สงวนไว้สำหรับการใช้งานเพื่อการศึกษาเท่านั้น ไม่อนุญาตให้นำไปใช้ประโยชน์ด้านการค้า
ไม่ว่ากรณีใดๆทั้งสิ้น อีกทั้งห้ามมิให้ดัดแปลงเนื้อหา และต้องอ้างอิงถึงเจ้าของเอกสารทุกครั้งที่มีการนำไปใช้

3.1 หลักการควบคุมผสม H_2/H_∞

แบบจำลองความไม่แน่นอนเชิงผลคูณ



รูปที่ 4 ระบบควบคุมป้อนกลับที่มีความไม่แน่นอนเชิงผลคูณ

พิจารณาระบบป้อนกลับซึ่งแทนความไม่แน่นอนในระบบด้วยแบบจำลองความไม่แน่นอนเชิงผลคูณ [3] ดังแสดงในรูปที่ 4 โดย G เป็นระบบที่พิจารณา K เป็นตัวควบคุมที่ออกแบบ Δ_m คือความไม่แน่นอนในระบบเชิงผลคูณ (Multiplicative uncertainty) จากทฤษฎีอัตราขยายขนาดเล็ก (Small gain theorem) สามารถรับรองเสถียรภาพด้านความทนทานของระบบ (Robust stability) ได้ก็ต่อเมื่อ

$$\|\Delta_m\|_\infty < 1/\|(I+GK)^{-1}\|_\infty = 1/J_1 \quad (1)$$

เมื่อ $\|\cdot\|_\infty$ แทนค่านอร์มอนันต์ (Infinite norm) ของฟังก์ชันถ่ายโอน ดังนั้นเมื่อทำให้ค่านอร์มอนันต์ J_1 มีค่าต่ำสุดก็จะทำให้ระบบมีส่วนเผื่อเสถียรภาพทนทาน (Robust stability margin) ต่อความไม่แน่นอนในระบบได้สูงสุด

เพื่อให้ตัวควบคุมมีสมรรถนะสูงในการควบคุมความถี่ จะพิจารณาค่าผิดพลาดของความถี่ e ระหว่างเอาต์พุต y กับสัญญาณอ้างอิง r เมื่อไม่คิดผลของ Δ_m และ d จะได้ฟังก์ชันถ่ายโอนดังนี้

$$E(s) = (I + G(s)K(s))^{-1} R(s) \quad (2)$$

ในที่นี้จะพิจารณาขนาดของ $E(s)$ จาก

$$J_2 = \|E(s)\|_2^2 \quad (3)$$

เมื่อ $\|\cdot\|_2$ แทนนอร์มสอง (Two norm) ของฟังก์ชันถ่ายโอน ดังนั้น ถ้าทำให้ค่า J_2 มีค่าต่ำสุดก็จะทำให้ค่าความเบี่ยงเบนความถี่ต่ำสุดด้วย

เพื่อให้ตัวควบคุมมีความทนทานและสมรรถนะสูงจึงตั้งปัญหาการทำให้เหมาะสมได้ดังนี้

$$\text{Minimize } J_1 + J_2 \quad (4)$$

$$\text{Subject to } 0.0001 \leq K_p, K_I, K_D \leq 5$$

$$0.0001 \leq T_D \leq 1$$

ส่วนตัวควบคุมเปรียบเทียบกับนั้นจะทำการปรับค่าพีไอดีโดยการทำหาค่าผิดพลาดสัมบูรณ์เชิงอินทิกรัล (Integral absolute error, IAE) ของ Δf มีต่ำที่สุด ดังนั้นจึงตั้งฟังก์ชันวัตถุประสงค์ได้ดังนี้

$$\text{Minimize } J_3 = \int_0^{\infty} |\Delta f(t)| dt \quad (5)$$

โดยมีเงื่อนไขเช่นเดียวกับสมการที่ (4) ในงานวิจัยนี้ทำการใช้ PSO [4] เพื่อแก้ปัญหาสมการที่ (4) และ (5) ให้ได้ค่าพีไอดีที่เหมาะสมที่สุด

3.2 วิธีกลุ่มอนุภาค (PSO)



รูปที่ 5 หลักการ และแนวคิดพื้นฐานของวิธี PSO

วิธี PSO ได้นำเสนอเป็นครั้งแรกโดย Kennedy และ Eberhart [4] ในปี ค.ศ. 1995 ซึ่งได้รับแรงบันดาลใจมาจากพฤติกรรมการอยู่รวมกันเป็นกลุ่มของสัตว์ เช่น ผีเสื้อกลางคืน หรือฝูงปลา เป็นต้น ดังแสดงในรูปที่ 5 วิธี PSO เป็นวิธีการหาค่าที่เหมาะสม โดยอาศัยการค้นหาแบบกลุ่มประชากร (population) แต่ละตัวดำเนินการ เรียกว่า อนุภาค (particle) ซึ่งสามารถเคลื่อนย้ายตำแหน่งได้ อนุภาคนี้จะรวมตัวกันเป็นกลุ่ม และบินอยู่ในขอบเขตที่ต้องการค้นหา ในระหว่างบินนั้นแต่ละอนุภาคจะเคลื่อนย้ายตำแหน่งโดยอาศัยการอ้างอิงตำแหน่งของตัวเอง และตำแหน่งของอนุภาคใกล้เคียงที่บินผ่านมาแล้ว

เอกสารนี้เป็นเอกสารที่สงวนไว้สำหรับการใช้งานเพื่อ10:ศึกษาเท่านั้น ไม่อนุญาตให้นำไปใช้ประโยชน์ด้านการค้า
ไม่ว่ากรณีใดๆทั้งสิ้น อีกทั้งห้ามมิให้ดัดแปลงเนื้อหา และต้องอ้างอิงถึงเจ้าของเอกสารทุกครั้งที่มีการนำไปใช้

เพื่อใช้หาทิศทางการเคลื่อนที่ต่อไป จนกว่าจะค้นพบคำตอบที่ดีที่สุด ซึ่งอาจจะค้นพบด้วยตัวเอง หรืออนุภาคใกล้เคียง และวิธี PSO ยังสามารถที่จะนำไปประยุกต์ใช้ในทางปฏิบัติได้ง่าย และมีคุณลักษณะการลู่เข้าหาคำตอบ (convergence characteristic) และประสิทธิภาพของการคำนวณที่ดีมาก

3.2.1 องค์ประกอบของวิธี PSO

รายละเอียดขององค์ประกอบวิธี PSO พิจารณาได้ดังต่อไปนี้
กำหนดให้

g คือ มิติ (dimension) ของขอบเขตที่ต้องการค้นหา

$x_j = (x_{j,1}, x_{j,2}, \dots, x_{j,g})$ แทนตำแหน่งของอนุภาคที่ j

$v_j = (v_{j,1}, v_{j,2}, \dots, v_{j,g})$ แทนอัตราความเร็วสำหรับอนุภาคที่ j

$pbest_j = (pbest_{j,1}, pbest_{j,2}, \dots, pbest_{j,g})$ แทนตำแหน่งที่ดีที่สุดที่ค้นหามาแล้วของอนุภาคที่ j

$gbest_g$ แทนตำแหน่งของอนุภาคที่ค้นหาคำตอบได้ดีที่สุดจากอนุภาคทั้งหมด

ดังนั้นการเปลี่ยนความเร็ว และตำแหน่งของแต่ละอนุภาค สามารถคำนวณได้จาก

$$v_{j,g}^{(t+1)} = \omega \cdot v_{j,g}^{(t)} + c_1 \cdot rand() \cdot (pbest_{j,g} - x_{j,g}^{(t)}) + c_2 \cdot Rand() \cdot (gbest_g - x_{j,g}^{(t)}) \quad (6)$$

$$x_{j,g}^{(t+1)} = x_{j,g}^{(t)} + v_{j,g}^{(t+1)} \quad (7)$$

โดยที่

n คือ จำนวนอนุภาคในกลุ่ม

m คือ จำนวนตัวแปร

t คือ ครั้งที่ทำการค้นหา (iteration)

$v_{j,g}^{(t)}$ คือ ความเร็วของอนุภาคที่ j ในรอบที่ t โดยที่

$$v_g^{min} \leq v_{j,g}^{(t)} \leq v_g^{max}$$

ω คือ แฟกเตอร์น้ำหนักความเฉื่อย (inertial weight factor)

c_1, c_2 คือ ค่าคงที่ของอัตราเร่ง (acceleration constant)

$rand(), Rand()$ คือ ค่าที่ได้จากการสุ่มในช่วง $[0, 1]$

$x_{j,g}^{(t)}$ คือ ตำแหน่งปัจจุบันของอนุภาคที่ j ในรอบที่ t

ค่า v^{max} ใช้ในการหาค่าความละเอียดของคำตอบ ถ้ามีค่ามากเกินไปจะทำให้อนุภาคบินผ่านคำตอบที่ดีที่สุดไป แต่ถ้ามีค่าน้อยเกินไปก็อาจจะค้นหาไม่ครอบคลุมทำให้ได้คำตอบที่ไม่ดี ดังนั้นจากการทดสอบมาแล้ว v^{max} ควรจะกำหนดค่าประมาณ 10-20 % ของช่วงการเปลี่ยนแปลงในตัวแปรแต่ละตัว

ค่าคงที่ c_1 และ c_2 แทนน้ำหนักของความเร่งของแต่ละอนุภาคผ่านตำแหน่ง $pbest$ และ $gbest$, ถ้ามีค่าน้อยเกินไป ในกรณีที่อนุภาคอยู่ห่างจากตำแหน่งเป้าหมายก็อาจจะหมดแรงก่อนถึงเป้าหมาย แต่ถ้ามีค่ามากเกินไปก็อาจจะบินข้ามเป้าหมายไป ดังนั้นค่า c_1 และ c_2 จากการทดสอบมาแล้ว ควรตั้งไว้ที่ค่า 2.0

การเลือกค่า ω ที่เหมาะสมนั้น หาได้จาก

$$\omega = \omega_{\max} - \frac{\omega_{\max} - \omega_{\min}}{iter_{\max}} \times iter \quad (8)$$

โดยทั่วไปแล้วค่า ω ที่เหมาะสมคือ $\omega_{\max} = 0.9$ และ $\omega_{\min} = 0.4$

3.2.2 ขั้นตอนการดำเนินงานของวิธี PSO

ระเบียบขั้นตอนการดำเนินงานของวิธี PSO แสดงได้ดังรูปที่ 6 ขั้นตอนการดำเนินงานของ วิธี PSO อธิบายได้ดังต่อไปนี้

ขั้นตอนที่ 1 กำหนดค่าพารามิเตอร์เริ่มต้นทั้งหมดของ PSO และทำการสุ่มค่าเริ่มต้นของจำนวนประชากรของแต่ละอนุภาค โดยตั้งค่า iteration = 1

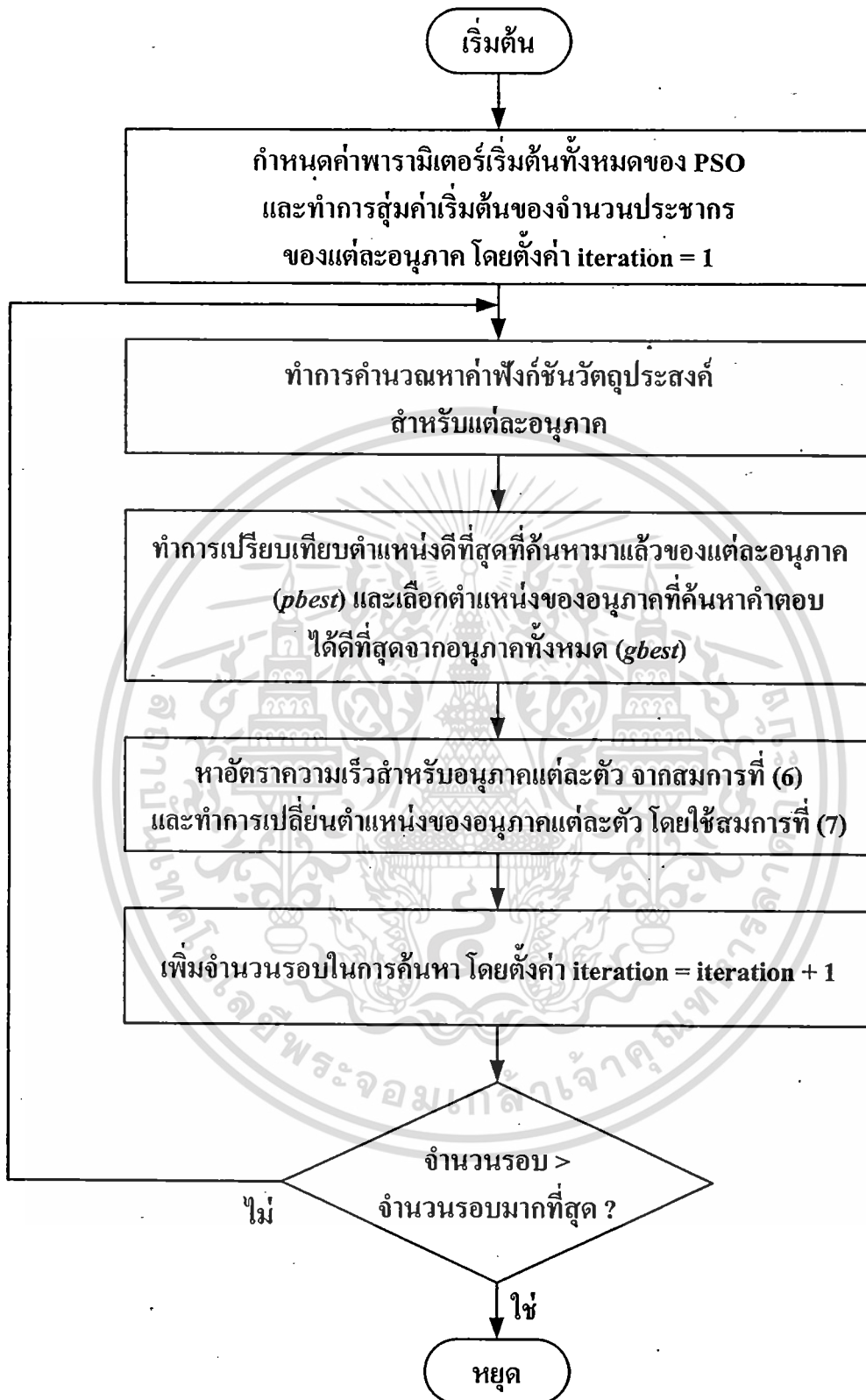
ขั้นตอนที่ 2 ทำการคำนวณหาค่าฟังก์ชันวัตถุประสงค์สำหรับแต่ละอนุภาค

ขั้นตอนที่ 3 ทำการเปรียบเทียบตำแหน่งที่ดีที่สุดที่ค้นหาแล้วของแต่ละอนุภาค ($pbest$) และเลือกตำแหน่งของอนุภาคที่ค้นหาค่าตอบได้ดีที่สุดจากอนุภาคทั้งหมด ($gbest$)

ขั้นตอนที่ 4 หาอัตราความเร็วสำหรับอนุภาคแต่ละตัว จากสมการที่ (6) และทำการเปลี่ยนตำแหน่งของอนุภาคแต่ละตัว โดยใช้สมการที่ (7)

ขั้นตอนที่ 5 เพิ่มจำนวนรอบในการค้นหา โดยตั้งค่า iteration = iteration + 1

ขั้นตอนที่ 6 ตรวจสอบเงื่อนไขการหยุดดำเนินการ ถ้ายังไม่ตรงตามเงื่อนไข ให้วนกลับไปทำขั้นตอนที่ 2 แต่ถ้าตรงตามเงื่อนไข ให้หยุดดำเนินการ



รูปที่ 6 ขั้นตอนการดำเนินงานของวิธี PSO

เอกสารนี้เป็นเอกสารที่สงวนไว้สำหรับการใช้งานเพื่อ 13 ศึกษาเท่านั้น ไม่อนุญาตให้นำไปใช้ประโยชน์ด้านการค้า
ไม่ว่ากรณีใดๆทั้งสิ้น อีกทั้งห้ามมิให้ดัดแปลงเนื้อหา และต้องอ้างอิงถึงเจ้าของเอกสารทุกครั้งที่มีการนำไปใช้

4. ผลการจำลองทางคอมพิวเตอร์

ผลการออกแบบตัวควบคุมที่นำเสนอแสดงได้ดังนี้

$$K_{HP}(s) = 1.5393 + \frac{1.1323}{s} + \frac{0.7756s}{0.0425s+1} \quad (9)$$

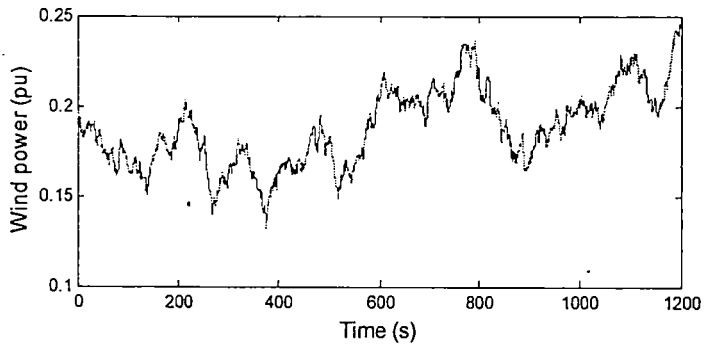
$$K_{PHEV}(s) = 1.8979 + \frac{1.5139}{s} + \frac{0.8971s}{0.0462s+1} \quad (10)$$

ในที่นี้จะทำการจำลองทางคอมพิวเตอร์เพื่อเปรียบเทียบระหว่างตัวควบคุมที่นำเสนอและตัวควบคุมที่ปรับค่าด้วยสมการ (5) รูปที่ 7 และ 8 แสดงกำลังไฟฟ้าไม่สม่ำเสมอที่สร้างจากฟาร์มกังหันลม และการเปลี่ยนแปลงกำลังไฟฟ้าของโหลด ตามลำดับ ผลการจำลองเมื่อไม่มีการเปลี่ยนแปลงพารามิเตอร์ของระบบแสดงดังรูปที่ 9 จะเห็นว่าเมื่อไม่มี HP และ PHEV จะเกิดการแกว่งของความเร็วอย่างรุนแรง ในทางตรงข้าม ตัวควบคุมของ HP และ PHEV ที่นำเสนอและเปรียบเทียบนั้นมีสมรรถนะในการลดค่าความเบี่ยงเบนความเร็วได้ใกล้เคียงกัน

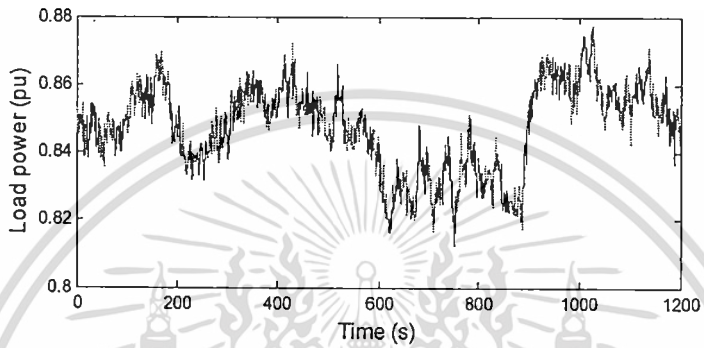
รูปที่ 10 แสดงความเบี่ยงเบนความเร็วในกรณีหาค่า T_r (ค่าเวลาคงตัวกังหัน) , T_g (ค่าเวลาคงตัวโกลเวอร์นอร์), D (ค่าคงที่ความหน่วง) และ M (ค่าคงที่ความเฉื่อย) เปลี่ยนแปลงไป -40 % จากค่าปกติ จะเห็นว่าตัวควบคุมเปรียบเทียบได้รับผลกระทบจากพารามิเตอร์ที่เปลี่ยนไปทำให้สมรรถนะการควบคุมความเร็วลดลง ในขณะที่ตัวควบคุมที่นำเสนอยังคงควบคุมความเร็วได้อย่างทนทาน ส่วนกำลังไฟฟ้าที่รับเข้าของ HP และ PHEV แสดงดังรูปที่ 11 และ 12 ตามลำดับ เพื่อประเมินความทนทานของตัวควบคุมเพิ่มเติม จะพิจารณาค่าความเบี่ยงเบนของความเร็วด้วยฟังก์ชันความหนาแน่นของความน่าจะเป็นดังสมการ

$$f(x) = \frac{1}{\sigma\sqrt{2\pi}} \exp\left[-\frac{1}{2}\left(\frac{x-\mu}{\sigma}\right)^2\right] \quad (11)$$

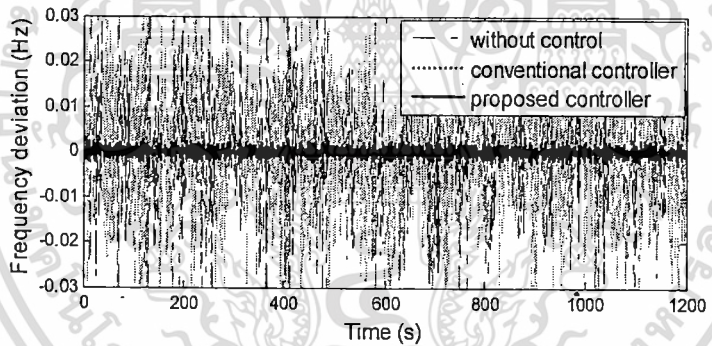
เมื่อ $f(x)$ คือฟังก์ชันความหนาแน่นของความน่าจะเป็นแบบการแจกแจงปกติ, σ คือค่าเบี่ยงเบนมาตรฐาน, x คือค่าที่ทำการสุ่มหาในที่นี้หมายถึง Δf และ μ คือค่าเฉลี่ย รูปที่ 13 และ 14 แสดงฟังก์ชันความน่าจะเป็นของตัวควบคุมเปรียบเทียบและที่นำเสนอ ตามลำดับ เมื่อเกิดการเปลี่ยนแปลงพารามิเตอร์ระบบ T_r , T_g , D และ M พร้อมกันทั้งหมด เป็น -10%, -20%, -30% และ -40% จากค่าปกติ จะเห็นได้ว่าตัวควบคุมเปรียบเทียบมีการเปลี่ยนแปลงไปอย่างมาก ในขณะที่ของตัวควบคุมที่นำเสนอ นั้นแทบไม่เปลี่ยนแปลงเลย ผลการศึกษานี้แสดงให้เห็นว่าตัวควบคุมที่นำเสนอ นอกจากจะมีสมรรถนะแล้วยังมีความทนทานต่อการเปลี่ยนแปลงพารามิเตอร์ในระบบสูงกว่าตัวควบคุมเปรียบเทียบ



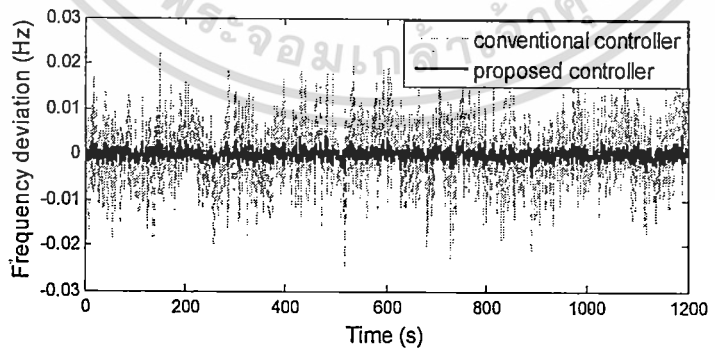
รูปที่ 7 กำลังไฟฟ้าที่ได้จากฟาร์มกังหันลม



รูปที่ 8 กำลังไฟฟ้าของโหลด

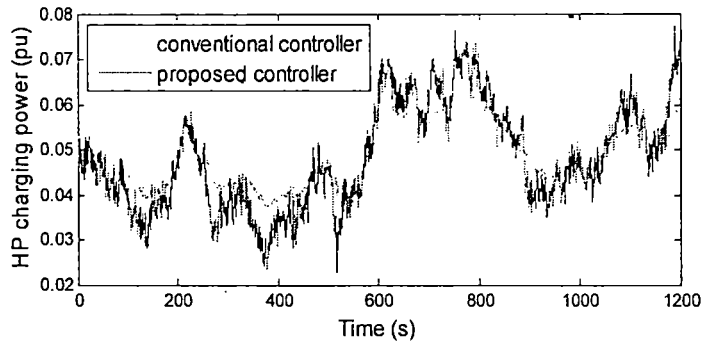


รูปที่ 9 ความเบี่ยงเบนความถี่เมื่อไม่เปลี่ยนแปลงพารามิเตอร์ระบบ

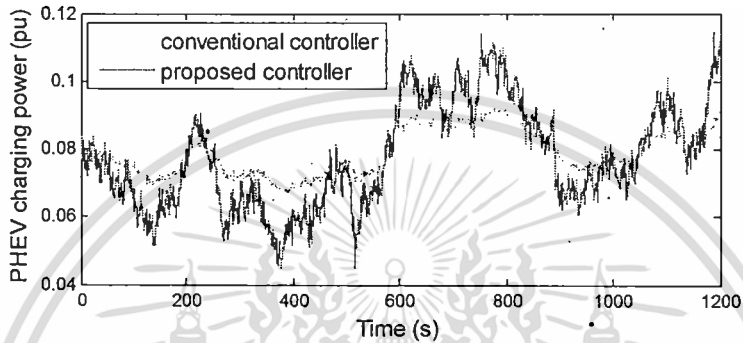


รูปที่ 10 ความเบี่ยงเบนความถี่เมื่อเปลี่ยนแปลงพารามิเตอร์ระบบ

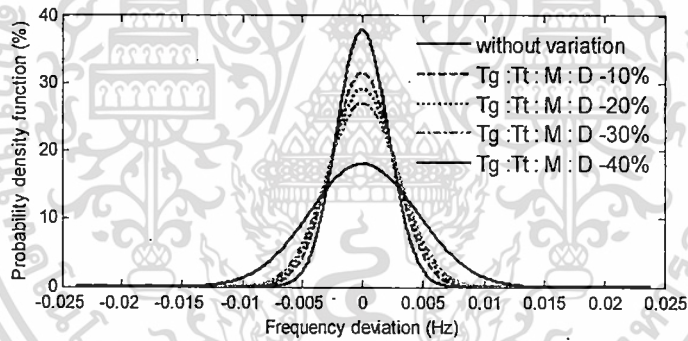
เอกสารนี้เป็นเอกสารที่สงวนไว้สำหรับการใช้งานเพื่อ 15 ศึกษาเท่านั้น ไม่อนุญาตให้นำไปใช้ประโยชน์ด้านการค้า
ไม่ว่ากรณีใดๆทั้งสิ้น อีกทั้งห้ามมิให้ตัดแปลงเนื้อหา และต้องอ้างอิงถึงเจ้าของเอกสารทุกครั้งที่มีการนำไปใช้



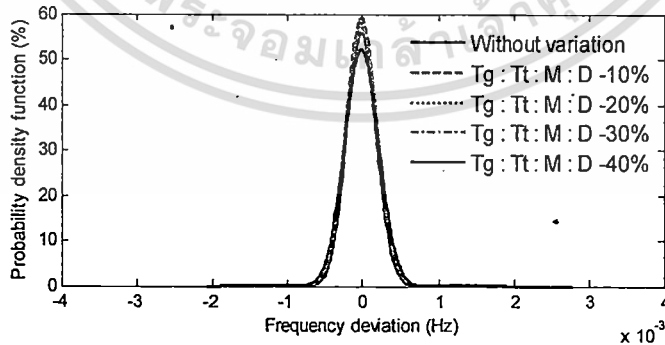
รูปที่ 11 กำลังไฟฟ้าที่รับเข้าของ HP เมื่อเปลี่ยนพารามิเตอร์ระบบ



รูปที่ 12 กำลังไฟฟ้าที่รับเข้าของ PHEV เมื่อเปลี่ยนพารามิเตอร์ระบบ



รูปที่ 13 ฟังก์ชันความน่าจะเป็นของตัวควบคุมเปรียบเทียบ



รูปที่ 14 ฟังก์ชันความน่าจะเป็นของตัวควบคุมที่นำเสนอ

เอกสารนี้เป็นเอกสารที่สงวนไว้สำหรับการใช้งานเพื่อ 16 ศึกษาเท่านั้น ไม่อนุญาตให้นำไปใช้ประโยชน์ด้านการค้า
ไม่ว่ากรณีใดๆทั้งสิ้น อีกทั้งห้ามมิให้ดัดแปลงเนื้อหา และต้องอ้างอิงถึงเจ้าของเอกสารทุกครั้งที่มีการนำไปใช้

5. สรุป

งานวิจัยนี้นำเสนอการควบคุมความถี่อย่างทนทานด้วยการควบคุมการรับกำลังไฟฟ้าของปั๊มความร้อนและรถไฟฟ้าปลั๊กอินไฮบริดในระบบสมาร์ตไมโครกริดซึ่งได้รับผลกระทบจากกำลังไฟฟ้าไม่สม่ำเสมอที่ผลิตจากฟาร์มกังหันลม ตัวควบคุมที่ใช้เป็นแบบพีไอดีซึ่งปรับค่าให้เหมาะสมด้วยวิธีกลุ่มอนุภาคโดยใช้หลักการควบคุมผสม H_2/H_∞ เพื่อให้สมรรถนะและทนทานต่อความไม่แน่นอนต่างๆในระบบ ผลการศึกษายืนยันได้ว่าสมรรถนะในการควบคุมความถี่และความทนทานต่อการเปลี่ยนแปลงพารามิเตอร์ระบบของตัวควบคุมของ HP และ PHEV ที่นำเสนอั้นสูงกว่าตัวควบคุมเปรียบเทียบสามารถสรุปผลการนำเสนอได้ดังนี้

- วิธีการทำให้เหมาะสมที่นำเสนอเป็นแบบออฟไลน์ สามารถค้นหาคำตอบได้อย่างอัตโนมัติจึงสะดวกต่อการนำไปใช้งาน
- สามารถนำวิธีที่นำเสนอไปประยุกต์ใช้เพื่อหาค่าพารามิเตอร์ของตัวควบคุมที่มีโครงสร้างชนิดอื่นๆได้ เช่น ตัวชดเชยแบบเฟสนำหน้า/ล่าหลัง, พีไอ เป็นต้น
- ตัวควบคุมที่นำเสนอนอกจากจะมีสมรรถนะในการควบคุมสูงแล้วยังมีความคงทนต่อความไม่แน่นอนในระบบสูงอีกด้วย
- สามารถนำวิธีออกแบบที่นำเสนอไปประยุกต์ใช้ออกแบบโพลดิอัจจริยะอื่นๆได้

6. เอกสารอ้างอิง

- [1] A. Yokoyama, "Smarter grid I," *IEEEJ Journal*, Vol.30, No.2, 2010.
- [2] A. Yokoyama, "Smarter grid II," *IEEEJ Journal*, Vol.30, No.3, 2010.
- [3] D.W. Gu, *Robust control design with MATLAB*, Springer, 2005.
- [4] J. Kennedy and R. Eberhart, "Particle swarm optimization," *Proc. IEEE Inter. Conf. Neural Networks*, pp.1942-48, 1995.
- [5] T. Senjyu, et al., "A frequency control approach by decentralized controllable loads in small power systems," *IEEEJ Trans. Power & Energy*, Vol.129, No.9, pp.1074-80, 2009.
- [6] T. Yanabe, Heat pump, สมาคมส่งเสริมเทคโนโลยีไทยญี่ปุ่น 2551

ภาคผนวก

ผลการศึกษาวิจัยจากโครงการนี้ได้รับการตีพิมพ์ดังนี้

การประชุมวิชาการระดับนานาชาติ

Chalotorn Rattanapornchai, Issarachai Ngamroo and Sitthidet Vachirasricirikul

“Robust frequency control in the smart microgrid by heat pump and plug-in hybrid electric vehicle”
Proceedings of IASTED Technology and Management Conferences 2010, Power and Energy Systems, (AsiaPES 2010), 24-26 November 2010, Phuket, Thailand, no. 701-146.

การประชุมวิชาการระดับชาติ

ชโลธร รัตนพรชัย, อิศระชัย งามหรุ, ชีรวุฒิ ไชยธรรม และ สิทธิเดช วชิราศรีศิริกุล

“การควบคุมความถี่อย่างทนทานในระบบสมาร์ทไมโครกริดโดยใช้ปั๊มความร้อนและรถไฟฟ้าปลั๊กอินไฮบริด”
งานวิจัยรับเชิญสาขาไฟฟ้ากำลัง การประชุมวิชาการวิศวกรรมไฟฟ้าครั้งที่ 33 (EECON 33) 1 – 3 ธันวาคม 2553 เชียงใหม่



ROBUST FREQUENCY CONTROL IN THE SMART MICROGRID BY HEAT PUMP AND PLUG-IN HYBRID ELECTRIC VEHICLE

Chalotorn Rattanapornchai*, Issarachai Ngamroo**, Sitthidet Vachirasricirikul***

*Department of Electrical Engineering

**Center of Excellence for Innovative Energy Systems

Faculty of Engineering, King Mongkut's Institute of Technology Ladkrabang
Chalongkrung Rd. Bangkok, 10520, Thailand

***Department of Electrical Engineering, School of Engineering, Phayao University
Tumbol Maeka Muang Phayao, 56000, Thailand

Email: offering_l@hotmail.com, ngamroo@gmail.com, sitthidetv@hotmail.com

ABSTRACT

This paper proposes a new controller design of heat pumps (HP) and plug-in hybrid electric vehicles (PHEV) for robust frequency control in a smart microgrid (MG) system with wind farm. The system frequency can be controlled by the smart power charging of HP and PHEV. The structure of power charge controller is a proportional integral derivative (PID) with single input. System uncertainties are modeled by the multiplicative uncertainty. By taking the robust stability margin into account, the particle swarm optimization (PSO) is applied to optimize the PID controller parameters of HP and PHEV concurrently based on specified-structure mixed H_2/H_∞ control approach. Simulation results confirm the superior robustness and performance of the proposed control.

KEY WORDS

Smart microgrid, heat pump, plug-in hybrid electric vehicle, mixed H_2/H_∞ control, robust control, particle swarm optimization

1. Introduction

Nowadays, the microgrid (MG) system which is a small power system has been paid many attentions to supply power to system load in remote areas which are not connected to main utility grid (UG) because of the limitation of investment costs, right of way difficulties. The MG can be performed autonomously in an islanding mode and also interconnected to the main UG [1]. Generally, the MG system consists of the renewable energy sources such as wind power (WP), photovoltaic (PV), etc. Due to intermittent power generation from WP and PV, the unequal generation and load demand cause the problem of large frequency fluctuation [2,3].

In the load side, there are upward trends to install the effective devices such as heat pumps (HP) and plug-in hybrid electric vehicles (PHEV) in the smart grid [4].

This paper presents the charging power control of HP and PHEV installed in residences for robust frequency control in the smart MG system with wind farm. Here, HP and PHEV are cooperated with turbine (TB) and governor (GOV) of diesel generator. However, the dynamic responses of HP and PHEV are much faster than TB and GOV of diesel generator. As a result, the HP and PHEV deal with suppressing the peak value of frequency fluctuation. Also, the TB and GOV of diesel generator are used for eliminating the steady state error of the frequency deviation. The controller structure of HP and PHEV is the PID. To increase the robustness of HP and PHEV controllers, system uncertainty model are represented by the multiplicative uncertainty [5]. However, the robust stability is often not adequate in the control system design. The minimization of tracking error (i.e., H_2 norm) should be taken into account [6,7].

To tackle this problem, the particle swarm optimization (PSO) [8]-based specified-structure mixed H_2/H_∞ control technique is applied to tune simultaneously the PID control parameters of HP and PHEV. Simulation results show the superior robustness and control effect of the proposed HP and PHEV controllers.

2. System Modeling

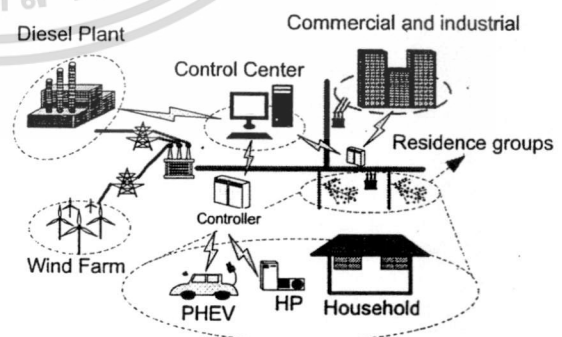


Figure 1. Smart microgrid system

Figure 1 shows the isolated smart MG system. The studied smart MG system includes the 20 MW diesel generator, 6 MW wind farm, 17 MW load, 1.62 MW HP and 2.38 MW PHEV. Due to intermittent powers from wind power (WP) and load fluctuations, the frequency control can be performed by controlling the smart charge power of HP and PHEV.

To take the dynamic response into consideration, the HP and PHEV are faster than TB and GOV of diesel generator. Therefore, the operational tasks are assigned according to the response speed as follows. The HP and PHEV are responsible for damping the peak value of frequency deviation rapidly against the abrupt load change. Subsequently the TB and GOV of diesel generator are utilized for eliminating the steady state error of the frequency fluctuation. As a result, the TB and GOV models are neglected in the control design of HP and PHEV. The linearized model of MG system is shown in Fig.2. System parameters are given in [2,3].

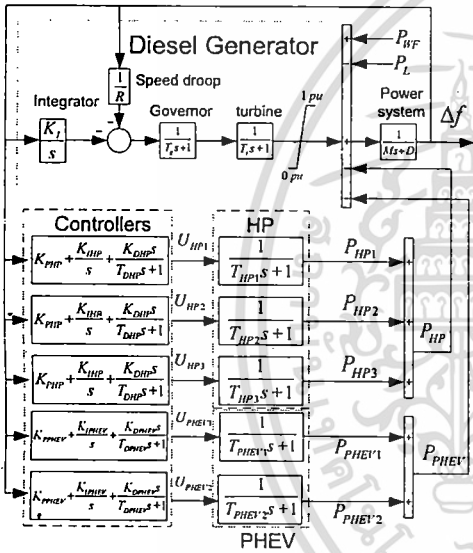


Figure 2. Linearized model of isolated MG system

In Fig.2, the linearized state equations can be expressed as

$$\dot{\Delta X} = A\Delta X + B\Delta u \quad (1)$$

$$\Delta Y = C\Delta X + D\Delta u \quad (2)$$

$$K_{HP1}(s) = K_{P1} + \frac{K_{I1}}{s} + \frac{K_{D1}s}{\tau_{d1}s+1} \quad (3)$$

$$K_{HP2}(s) = K_{P2} + \frac{K_{I2}}{s} + \frac{K_{D2}s}{\tau_{d2}s+1} \quad (4)$$

$$K_{HP3}(s) = K_{P3} + \frac{K_{I3}}{s} + \frac{K_{D3}s}{\tau_{d3}s+1} \quad (5)$$

$$K_{PHEV1}(s) = K_{P4} + \frac{K_{I4}}{s} + \frac{K_{D4}s}{\tau_{d4}s+1} \quad (6)$$

$$K_{PHEV2}(s) = K_{P5} + \frac{K_{I5}}{s} + \frac{K_{D5}s}{\tau_{d5}s+1} \quad (7)$$

where the state vector $\Delta X = [P_{HP1} P_{HP2} P_{HP3} P_{PHEV1} P_{PHEV2} \Delta f]^T$. P_{HP1} , P_{HP2} , P_{HP3} , P_{PHEV1} and P_{PHEV2} are the charging power of HP1, HP2, HP3, PHEV1 and PHEV2, respectively. Δf is the change of system frequency. The output vector $\Delta Y = [\Delta f]$, the control output signal $\Delta u = [U_{HP1} U_{HP2} U_{HP3} U_{PHEV1} U_{PHEV2}]^T$. U_{HP1} , U_{HP2} , U_{HP3} , U_{PHEV1} and U_{PHEV2} are the charging power control signals of HP1, HP2, HP3, PHEV1 and PHEV2, respectively. $K_{HP1}(s)$, $K_{HP2}(s)$, $K_{HP3}(s)$, $K_{PHEV1}(s)$ and $K_{PHEV2}(s)$ are the proposed PID controllers of HP1, HP2, HP3, PHEV1 and PHEV2, respectively. The system (1) is a multi-input single-output (MISO) system and referred to as the nominal plant G .

3. Proposed Design Method

The proposed design method is represented as follows:

3.1 Specified-structure mixed H_2/H_∞ control method

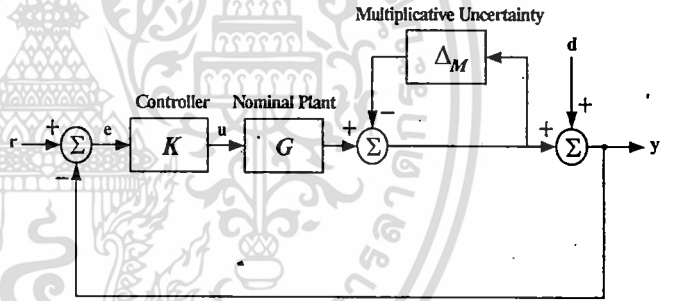


Figure 3. Control system with inverse output multiplicative perturbation and external disturbance

To improve the robustness of HP and PHEV controllers against unstructured system uncertainties, the inverse output multiplicative perturbation [5] is applied to formulate the problem of optimization. The control system with inverse output multiplicative perturbation and external disturbance is shown in Fig.3. In Fig.3, G is the nominal plant. K is the designed controller. $r(t)$ is the reference input. $e(t)$ is the error tracking. $d(t)$ is the external disturbance. $y(t)$ is the output of the system. Δ_M is the system uncertainties such as various generating and loading conditions, system parameters variation etc. which is modeled by multiplicative uncertainty. Based on the small gain theorem, for a stable multiplicative uncertainty, the system is stable if

$$\|\Delta_M (I + GK)^{-1}\|_\infty < 1 \quad (8)$$

then,

$$\|\Delta_M\|_\infty < 1/\|(I+GK)^{-1}\|_\infty \quad (9)$$

The right hand side of (9) implies the size of system uncertainties or the robust stability margin against system uncertainties. By minimizing $\|(I+GK)^{-1}\|_\infty$, the robust stability margin of the closed-loop system is maximum. This concept can be applied to design robust controller as the cost function J_∞ .

$$J_\infty = \|(I+GK)^{-1}\|_\infty \quad (10)$$

However, not only the robust stability, but also small tracking error is very considerable. Accordingly, the problem of minimizing the tracking error can be defined by the integral of the squared error (ISE) as the cost function J_2 [6,7]

$$J_2 = \int_0^\infty e^T(t)e(t)dt = \|E(s)\|_2^2 \quad (11)$$

where $e(t) = r(t) - y(t)$ is the error which can be obtained from the inverse laplace transformation of $E(s)$ with $\Delta_M = 0$ and $d(t) = 0$ as

$$E(s) = (I+GK)^{-1}R(s) \quad (12)$$

Hence, the objective function is

$$\text{Minimize } J_2 + J_\infty \quad (13)$$

Subject to

$$\begin{aligned} K_{P1-5, \min} < K_{P1-5} < K_{P1-5, \max} \\ K_{I1-5, \min} < K_{I1-5} < K_{I1-5, \max} \\ K_{D1-5, \min} < K_{D1-5} < K_{D1-5, \max} \\ \tau_{d1-5, \min} < \tau_{d1-5} < \tau_{d1-5, \max} \end{aligned} \quad (14)$$

where $K_{P1-5, \min}$, $K_{I1-5, \min}$, $K_{D1-5, \min}$ and $\tau_{d1-5, \min}$ are the minimum PID gains of HP1, HP2, HP3, PHEV1 and PHEV2, respectively. $K_{P1-5, \max}$, $K_{I1-5, \max}$, $K_{D1-5, \max}$ and $\tau_{d1-5, \max}$ are the maximum PID gains of HP1, HP2, HP3, PHEV1 and PHEV2, respectively.

3.2 PSO algorithm

The PSO algorithm [8] is explained as follows:

1. Specify the parameters of PSO. Initialize a population of the particles with random positions and velocities.
2. Evaluate the objective function in (13) for each particle.
3. Compare the fitness value of each particle with it's the best position for particle (*pbest*). The best fitness value

among all the *pbests* is the best position of all particles in the group (*gbest*).

4. Update the velocity v_i and position of particle x_i by

$$v_{i+1} = w \cdot v_i + c_1 \cdot \text{rand}_1 \cdot (pbest - x_i) + c_2 \cdot \text{rand}_2 \cdot (gbest - x_i) \quad (15)$$

$$x_{i+1} = x_i + v_{i+1} \quad (16)$$

$$w = w_{\max} - \frac{w_{\max} - w_{\min}}{\text{iter}_{\max}} \cdot \text{iter} \quad (17)$$

where c_1 and c_2 are the cognitive and social acceleration factors, respectively. rand_1 and rand_2 are the random numbers of range (0,1). w is the inertia weight factor. w_{\min} and w_{\max} are the minimum and maximum of inertia weight factors, respectively. iter and iter_{\max} are the iteration count and maximum iteration, respectively.

5. When the maximum number of iterations is arrived, stop the process. Otherwise go to process 2.

4. Simulation Results

In optimization problem, the searching parameters and parameters of PSO are set as follows:

$$\begin{aligned} K_{P1-5} \in [0.0001 \ 5], K_{I1-5} \in [0.0001 \ 5], K_{D1-5} \in [0.0001 \ 5], \\ \tau_{d1-5} \in [0.0001 \ 0.02], \text{PSO sizes} = 50, \text{maximum iterations} \\ = 100, c_1 = 2, c_2 = 2, w_{\min} = 0.4 \text{ and } w_{\max} = 0.9. \end{aligned}$$

Based on (12), select $R(s) = 1/(s+5)$ instead of step as reference input to avoid the infinite value of H_2 norm. By minimizing (13), the objective function value is 1.6498. Consequently, the proposed HP and PHEV controllers (PHP & PPHEV) are

$$K_{HP1}(s) = 2.5772 + \frac{2.8339}{s} + \frac{0.0569s}{0.0075s+1}$$

$$K_{HP2}(s) = 3.8772 + \frac{1.1017}{s} + \frac{0.0774s}{0.0088s+1}$$

$$K_{HP3}(s) = 2.7380 + \frac{2.3349}{s} + \frac{0.0353s}{0.0050s+1}$$

$$K_{PHEV1}(s) = 3.7467 + \frac{2.5655}{s} + \frac{0.0951s}{0.0093s+1}$$

$$K_{PHEV2}(s) = 3.1321 + \frac{3.6015}{s} + \frac{0.0955s}{0.0089s+1} \quad (18)$$

To test simulation, the PHP & PPHEV is compared with the HP & PHEV controllers called as "CHP & CPHEV". The CHP & CPHEV is designed by minimizing the integral absolute error (IAE) of frequency deviation as

$$\text{Minimize } \int_0^\infty |\Delta f(t)| dt \quad (19)$$

Subject to

$$\begin{aligned}
 K_{P1-5, min} < K_{P1-5} < K_{P1-5, max} \\
 K_{I1-5, min} < K_{I1-5} < K_{I1-5, max} \\
 K_{D1-5, min} < K_{D1-5} < K_{D1-5, max} \\
 \tau_{d1-5, min} < \tau_{d1-5} < \tau_{d1-5, max}
 \end{aligned} \quad (20)$$

where Δf_s is the system frequency change. The PID controller parameters of CHP & CPHEV are tuned concurrently by PSO.

In normal operation, it is assumed that the isolated MG system is performed under the WP output and random load change as in Figs.4-5, respectively. Frequency deviation, HP charging power and PHEV charging power are demonstrated in Figs.6-8, respectively.

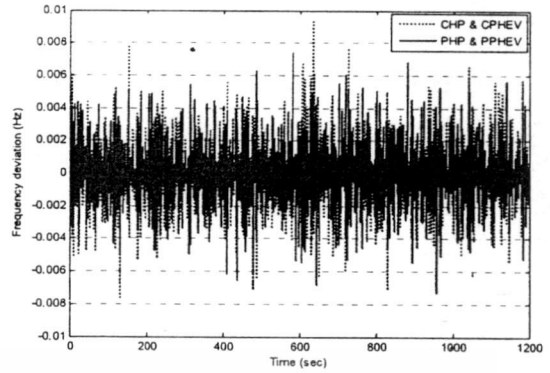


Figure 6. Frequency deviation

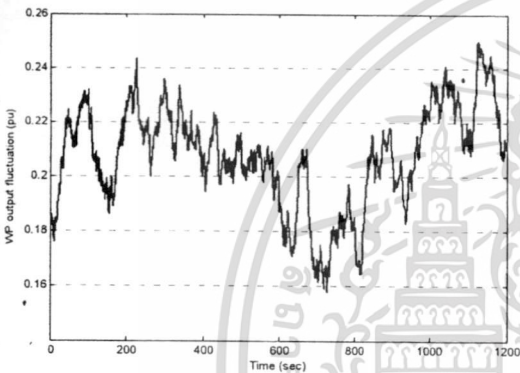


Figure 4. WP output fluctuation

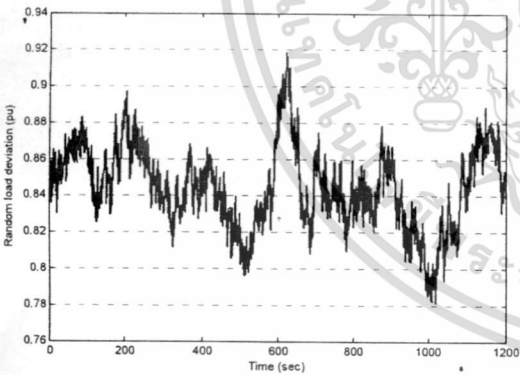


Figure 5. Random load deviation

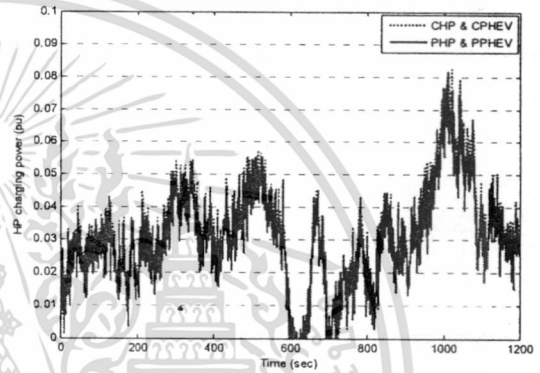


Figure 7. HP charging power

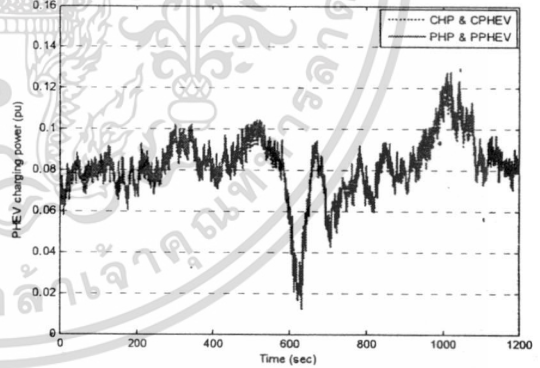


Figure 8. PHEV charging power

From Fig.6, CHP & CPHEV provides less damping effect than PHP & PPHEV. This shows that the charging power control effect is enhanced effectively by PHP & PPHEV. In Fig.7, the HP charging power of CHP & CPHEV is more than that of PHP & PPHEV. This indicates that the HP power consumption of PHP & PPHEV is lower than CHP & CPHEV. With Fig.8, the PHEV charging power in the case of PHP & PPHEV is higher than CHP & CPHEV. This implies that the PHEV power is highly charged by the proposed controller.

Next, to investigate the robustness of PHP & PPHEV against the system parameters variation, the IAE of frequency deviation (Δf) under the WP output and random load deviation in Figs. 4-5 are determined as

$$\text{IAE of } \Delta f = \int_0^{1200} |\Delta f| dt \quad (21)$$

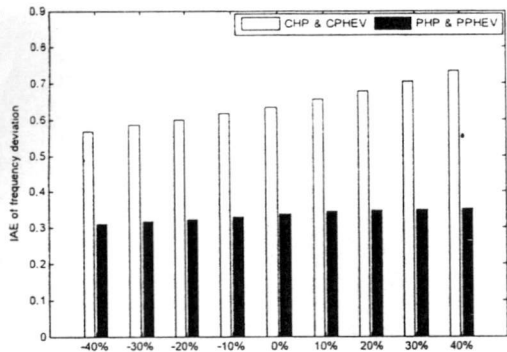


Figure 9. IAE of frequency deviation

Figure 9 shows the IAE values of frequency deviation while all system parameters are changed from -40% to +40% of the normal values. In Fig.10, the IAE values of CHP & CPHEV largely increase when system parameters increase. On the other hand, the changes of IAE values in case of PHP & PPHEV are lower than CHP & CPHEV. This exhibits that PHP & PPHEV is very robust to the variation of system parameters.

Next, in case of system parameters change, it is supposed that the WP output and random load deviation as illustrated in Figs.10-11 are subjected to the studied MG system. During the simulation, it is assumed that time constants of GOV (T_g) and diesel generator (T_d) are increased by 40% from the normal values, the HP1 controller (K_{HP1}) and the PHEV2 controller (K_{PHEV2}) are disconnected unexpectedly at $t = 0$ s. This implies that the capacities of HP and PHEV installed in the isolated MG are reduced. Simulation result of the frequency deviation is shown in Fig.12.

From Fig.12, the damping effect of CHP & CPHEV is deteriorated. On the contrary, PHP & PPHEV is able to suppress the frequency oscillation efficiently. This result confirms the superior robustness and frequency control effect of PHP & PPHEV over CHP & CPHEV.

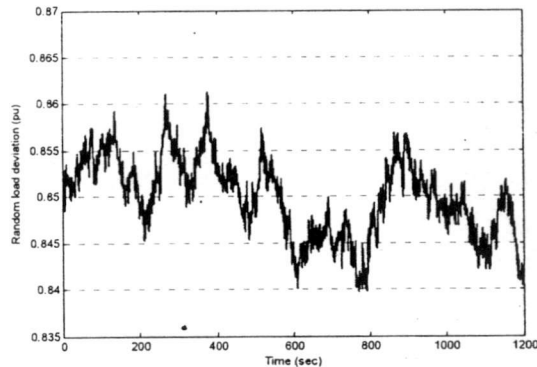


Figure 11. Random load deviation (changed system parameters)

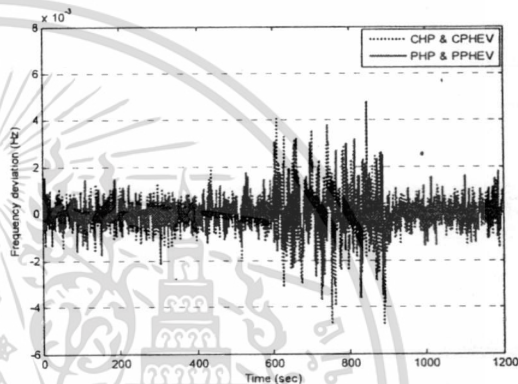


Figure 12. Frequency deviation (changed system parameters)

5. Conclusion

The new robust controller design for frequency control by HP and PHEV in the smart MG system with wind farm has been presented. The multiplicative uncertainty is applied to model the unstructured system uncertainties. The PSO-based specified-structure mixed H_2/H_∞ control method is utilized to simultaneously adjust the PID controller parameters of HP and PHEV. The proposed designed PID controllers are very robust against the variation of system parameters. Simulation results confirm the superior robustness and frequency control effect of the proposed HP and PHEV controllers.

References

- [1] B. Kroposki, et al., "Making Microgrids Work," IEEE Power and Energy Magazine, Vol.6, Issue.3, pp.40-53, 2008.
- [2] T. Senjyu, M. Tokudome, A. Yona and T. Funabashi, "A Frequency Control Approach by Decentralized Controllable Loads in Small Power Systems," IEEE Trans Power Energy, pp.1074-1080, 2009.

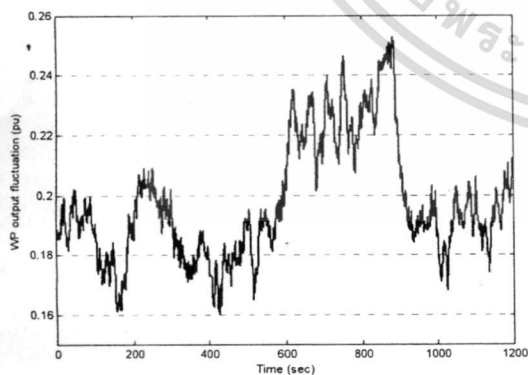


Figure 10. WP output fluctuation (changed system parameters)

- [3] T.Senju, et al., "A Frequency Control Approach by Decentralized Generators and Loads in Power Systems," IEEE International Conference on Power and Energy, pp.79-84, 2008.
- [4] A. Yokoyama, "Smarter Grid II," IEEJ Journal, Vol.30, No. 3, pp.163-167, 2010.
- [5] D-W. Gu, P.H. Petkov and M.M. Konstantinov, Robust Control Design with MATLAB, Springer, 2005.
- [6] S-J. Ho, et al., "Designing Structure-Specified Mixed H_2/H_∞ Optimal Controllers using an Intelligent Genetic Algorithm IGA," IEEE Transactions on Control System Technology, Vol.13, No.6, pp.1119-1124, 2005.
- [7] B.T. Thanh and M. Parnichkun, "Balancing Control of Bicyrobo by Particle Swarm Optimization-Based Structure-Specified Mixed H_2/H_∞ Control," International Journal of Advanced Robotic Systems, pp.395-402, 2008.
- [8] J. Kennedy and R. Eberhart, "Particle Swarm Optimization," Proc. IEEE International Conference on Neural Networks, Vol.1, pp.1942-1948, 1995.



การควบคุมความถี่อย่างทนทานในระบบสมาร์ทไมโครกริดโดยใช้ปั๊มความร้อนและรถไฟฟ้าปลั๊กอินไฮบริด

Robust Frequency Control in the Smart Microgrid by Heat Pump and Plug-in Hybrid Electric Vehicle

ชโลธร รัตนพรชัย¹ อิศระชัย งามหรุ¹ ชีรวัฒน์ ไชยธรรม¹ และ สิทธิเดช วชิราศรีศิริกุล²

¹สาขาวิชาวิศวกรรมไฟฟ้า คณะวิศวกรรมศาสตร์ สถาบันเทคโนโลยีพระจอมเกล้าเจ้าคุณทหารลาดกระบัง กรุงเทพมหานคร 10520

²สาขาวิชาวิศวกรรมไฟฟ้า สำนักวิชาวิศวกรรมศาสตร์ มหาวิทยาลัยพะเยา 56000, E-mail: offering_l@hotmail.com

บทคัดย่อ

บทความนี้นำเสนอวิธีการควบคุมความถี่อย่างทนทานด้วยปั๊มความร้อน (Heat pump : HP) และรถไฟฟ้าปลั๊กอินไฮบริด (Plug-in hybrid electric vehicle : PHEV) ในระบบสมาร์ทไมโครกริดซึ่งได้รับผลกระทบจากกำลังไฟฟ้าไม่สม่ำเสมอที่สร้างจากฟาร์มกังหันลม การควบคุมความถี่ทำได้โดยใช้ตัวควบคุมที่ไอดีเพื่อควบคุมการรับกำลังไฟฟ้าของกลุ่ม HP และ PHEV ซึ่งติดตั้งในด้านของผู้ใช้ไฟฟ้า ในการหาค่าตัวควบคุมที่ไอดินั้นจะตั้งปัญหาการทำให้เหมาะสมโดยใช้หลักการควบคุมผสม H_2/H_∞ เพื่อทำให้ตัวควบคุมที่ได้มีสมรรถนะและความทนทานสูงต่อการเปลี่ยนแปลงพารามิเตอร์ในระบบ แล้วจึงใช้วิธีกลุ่มอนุภาคเพื่อค้นหาค่าที่ไอดีที่เหมาะสม ผลการจำลองคอมพิวเตอร์แสดงให้เห็นว่าตัวควบคุมการรับกำลังไฟฟ้าของ HP และ PHEV ที่นำเสนอมีสมรรถนะในการควบคุมและความทนทานต่อการเปลี่ยนแปลงของพารามิเตอร์ระบบสูงกว่าตัวควบคุมเปรียบเทียบ คำสำคัญ : สมาร์ทไมโครกริด, ปั๊มความร้อน, รถไฟฟ้าปลั๊กอินไฮบริด, การควบคุมโหลด-ความถี่, การควบคุมผสม H_2/H_∞ , วิธีกลุ่มอนุภาค

Abstract

This paper presents a robust frequency control by heat pumps (HP) and plug-in hybrid electric vehicles (PHEV) in a smart microgrid with wind farm. The intermittent power generation from wind farm causes frequency fluctuations in the microgrid. To alleviate frequency fluctuations, the power charge control of HP and PHEV can be applied. The proportional-integral-derivative (PID) structure is selected as the power charge controller of HP and PHEV. The PID parameters optimization problem is formulated based on a mixed H_2/H_∞ control. The particle swarm optimization (PSO) is used to solve for PID parameters. Simulation results confirm that the proposed HP and PHEV controller is much superior to the conventional controller in terms of control performance and robustness against system parameters variation.

Keywords : Smart microgrid, Heat pump, Plug-in hybrid electric vehicle, Load-frequency control, Mixed H_2/H_∞ control, Particle swarm optimization

1. บทนำ

ปัจจุบัน ระบบไมโครกริดได้รับความสนใจอย่างสูงในการผลิตกำลังไฟฟ้าเพื่อจ่ายให้กับโหลดในสถานที่ซึ่งไม่สามารถต่อเข้าถึงระบบไฟฟ้ากำลังหลักได้ โดยทั่วไประบบไมโครกริดประกอบไปด้วยเครื่องกำเนิดไฟฟ้าซึ่งจ่ายกำลังไฟฟ้าร่วมกับแหล่งพลังงานหมุนเวียนเช่นลมและแสงอาทิตย์ เป็นต้น เนื่องจากกำลังไฟฟ้าที่สร้างจากแหล่งพลังงานลมและแสงอาทิตย์นั้นไม่สม่ำเสมอจึงทำให้เกิดการแกว่งของความถี่ขึ้นในระบบได้ [1]

ส่วนในด้านผู้ใช้ไฟฟ้านั้น มีแนวโน้มสูงในอนาคตที่จะมีการติดตั้งอุปกรณ์ประหยัดพลังงานที่มีประสิทธิภาพสูงและเป็นมิตรต่อสิ่งแวดล้อมเช่น ปั๊มความร้อน (HP) และรถไฟฟ้าปลั๊กอินไฮบริด (PHEV) เพิ่มมากขึ้น อุปกรณ์เหล่านี้เป็นองค์ประกอบสำคัญในระบบไฟฟ้ากำลังอัจฉริยะหรือสมาร์ทกริด [2] เนื่องจาก HP และ PHEV มีคุณสมบัติที่สามารถควบคุมการรับกำลังไฟฟ้าจากระบบ ดังนั้นจึงสามารถประยุกต์ใช้อุปกรณ์เหล่านี้ไปช่วยควบคุมความถี่ของระบบได้

งานวิจัยนี้นำเสนอวิธีการควบคุมการรับกำลังไฟฟ้าของ HP และ PHEV ซึ่งติดตั้งอยู่ในกลุ่มที่พักอาศัยเพื่อใช้ในการลดการแกว่งความถี่อย่างทนทานในระบบสมาร์ทไมโครกริดซึ่งติดตั้งฟาร์มกังหันลม ในที่นี้จะกำหนดโครงสร้างตัวควบคุมการรับกำลังไฟฟ้าของ HP และ PHEV เป็นแบบที่ไอดี ในการตั้งปัญหาการทำให้เหมาะสมของตัวควบคุมที่ไอดินั้นจะใช้หลักการควบคุมผสม H_2/H_∞ [3] เพื่อรับรองด้านสมรรถนะการควบคุมและความทนทานต่อความไม่แน่นอนในระบบ การหาค่าที่ไอดีที่เหมาะสมจะทำด้วยวิธีกลุ่มอนุภาค (PSO) [4] ผลการจำลองทางคอมพิวเตอร์แสดงให้เห็นว่า ตัวควบคุมการรับกำลังไฟฟ้าของ HP และ PHEV ที่นำเสนอมีสมรรถนะสูงในการควบคุมความถี่แล้วยังมีความทนทานต่อการเปลี่ยนแปลงพารามิเตอร์ของระบบเหนือกว่าตัวควบคุมเปรียบเทียบ

2. ระบบไมโครกริดที่ใช้ในการศึกษา

รูปที่ 1 แสดงระบบไมโครกริดอิสระ [5] ที่ใช้ศึกษาซึ่งประกอบด้วยเครื่องกำเนิดไฟฟ้าที่ใช้ควบคุมความถี่ได้ (Load frequency control, LFC) ขนาด 20 MW, ฟาร์มกังหันลม 6 MW, กลุ่มโหลด 17 MW ในกลุ่มบ้านพักอาศัยมีการติดตั้ง HP มีพิกัดกำลังตัวเลข 4.4 kW



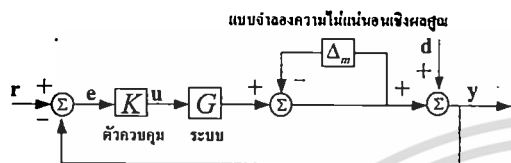
การประชุมวิชาการทางวิศวกรรมไฟฟ้าครั้งที่ 33 (EECON-33) 1-3 ธันวาคม 2553 จังหวัดเชียงใหม่ จัดโดย สอ. มข. มทน.

The 33rd Electrical Engineering Conference, 1-3 December 2010, Organized by KMITL, CMU, MUT

3. การปรับค่าพีไอดีที่เหมาะสมด้วยการควบคุมผสม H_2/H_∞

จุดประสงค์ของการออกแบบตัวควบคุมพีไอดีคือ

1. ให้ตัวควบคุมมีความทนทานสูงต่อความไม่แน่นอนของระบบ เนื่องมาจากการเปลี่ยนแปลงพารามิเตอร์ต่างๆ ในระบบ
2. ให้ตัวควบคุมมีสมรรถนะสูงในการลดความเบี่ยงเบนความถี่ Δf เพื่อให้บรรลุได้ทั้งสองจุดประสงค์ สามารถตั้งปัญหาการปรับค่าพีไอดีให้เหมาะสมด้วยหลักการควบคุมผสม H_2/H_∞ ซึ่งอธิบายได้ดังนี้



รูปที่ 4 ระบบควบคุมป้อนกลับที่มีความไม่แน่นอนเชิงผลคูณ

พิจารณาระบบป้อนกลับซึ่งแทนความไม่แน่นอนในระบบด้วยแบบจำลองความไม่แน่นอนเชิงผลคูณ [3] ดังแสดงในรูปที่ 4 โดย G เป็นระบบที่พิจารณา K เป็นตัวควบคุมที่ออกแบบ Δ_m คือความไม่แน่นอนในระบบเชิงผลคูณ (Multiplicative uncertainty) จากทฤษฎีอัตราขยายขนาดเล็ก (Small gain theorem) สามารถรับรองเสถียรภาพด้านความทนทานของระบบ (Robust stability) ได้ก็ต่อเมื่อ

$$\|\Delta_m\|_\infty < 1/\|(I+GK)^{-1}\|_\infty = 1/J_1 \quad (1)$$

เมื่อ $\|\cdot\|_\infty$ แทนค่าอินฟินิตี้ (Infinite norm) ของฟังก์ชันถ่ายโอน ดังนั้นเมื่อทำให้ค่าอินฟินิตี้ J_1 มีค่าต่ำสุดก็จะทำให้ระบบมีส่วนต่อเสถียรภาพทนทาน (Robust stability margin) คือความไม่แน่นอนในระบบได้สูงสุด

เพื่อให้ตัวควบคุมมีสมรรถนะสูงในการควบคุมความถี่ จะพิจารณาค่าผิดพลาดของความถี่ e ระหว่างเอาต์พุต y กับสัญญาณอ้างอิง r เมื่อไม่คิดผลของ Δ_m และ d จะได้ฟังก์ชันถ่ายโอนดังนี้

$$E(s) = (I+G(s)K(s))^{-1}R(s) \quad (2)$$

ในที่นี้จะพิจารณาขนาดของ $E(s)$ จาก

$$J_2 = \|E(s)\|_2^2 \quad (3)$$

เมื่อ $\|\cdot\|_2$ แทนนอร์มสอง (Two norm) ของฟังก์ชันถ่ายโอน ดังนั้นถ้าทำให้ค่า J_2 มีค่าต่ำสุดก็จะทำให้ค่าความเบี่ยงเบนความถี่ต่ำสุดด้วย

เพื่อให้ตัวควบคุมมีความทนทานและสมรรถนะสูงจึงตั้งปัญหาการทำให้เหมาะสมได้ดังนี้

$$\text{Minimize } J_1 + J_2 \quad (4)$$

$$\text{Subject to } 0.0001 \leq K_p, K_I, K_D \leq 5$$

$$0.0001 \leq T_D \leq 1$$

ส่วนตัวควบคุมเปรียบเทียบนั้นจะทำการปรับค่าพีไอดีโดยการทำให้ค่าผิดพลาดสัมบูรณ์เชิงอินทิกรัล (Integral absolute error, IAE)

ของ Δf มีค่าที่ต่ำสุด ดังนั้นจึงตั้งฟังก์ชันวัตถุประสงค์ได้ดังนี้

$$\text{Minimize } J_3 = \int_0^{\infty} |\Delta f(t)| dt \quad (5)$$

โดยมีเงื่อนไขเช่นเดียวกับสมการที่ (4) ในบทความนี้ทำการใช้ PSO [4] เพื่อแก้ปัญหาสมการที่ (4) และ (5) ให้ได้ค่าพีไอดีที่เหมาะสมที่สุด

4. ผลการทดสอบตัวควบคุม

ผลการออกแบบตัวควบคุมที่นำเสนอแสดงได้ดังนี้

$$K_{HP}(s) = 1.5393 + \frac{1.1323}{s} + \frac{0.7756s}{0.0425s+1}$$

$$K_{PHEV}(s) = 1.8979 + \frac{1.5139}{s} + \frac{0.8971s}{0.0462s+1} \quad (6)$$

ในที่นี้จะทำการจำลองทางคอมพิวเตอร์เพื่อเปรียบเทียบ

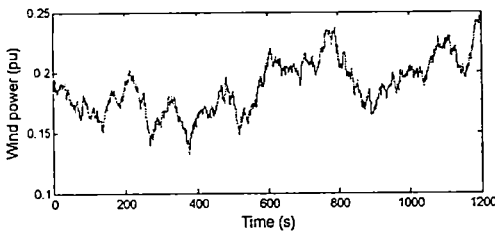
ระหว่างตัวควบคุมที่นำเสนอและตัวควบคุมที่ปรับด้วยสมการ (5) รูปที่ 5 และ 6 แสดงกำลังไฟฟ้าไม่สม่ำเสมอที่สร้างจากฟาร์มกังหันลมและการเปลี่ยนแปลงกำลังไฟฟ้าของโหลด ตามลำดับ ผลการจำลองเมื่อไม่มีการเปลี่ยนแปลงพารามิเตอร์ของระบบแสดงดังรูปที่ 7 จะเห็นว่าเมื่อไม่มี HP และ PHEV จะเกิดการแกว่งของความถี่อย่างรุนแรงในทางตรงข้าม ตัวควบคุมของ HP และ PHEV ที่นำเสนอและเปรียบเทียบนั้นมีสมรรถนะในการลดค่าความเบี่ยงเบนความถี่ได้ใกล้เคียงกัน

รูปที่ 8 แสดงความเบี่ยงเบนความถี่ในกรณีค่า T_r (ค่าเวลาคงตัวกังหัน), T_g (ค่าเวลาคงตัวโกเวอร์เนอร์), D (ค่าคงที่ความหน่วง) และ M (ค่าคงที่ความเฉื่อย) เปลี่ยนแปลงไป -40% จากค่าปกติ จะเห็นว่าตัวควบคุมเปรียบเทียบได้รับผลกระทบจากพารามิเตอร์ที่เปลี่ยนไปทำให้สมรรถนะการควบคุมความถี่ลดลงในขณะที่ตัวควบคุมที่นำเสนอยังคงควบคุมความถี่ได้อย่างทนทาน ส่วนกำลังไฟฟ้าที่รับเข้าของ HP และ PHEV แสดงดังรูปที่ 9 และ 10 ตามลำดับ เพื่อประเมินความทนทานของตัวควบคุมเพิ่มเติม จะพิจารณาค่าความเบี่ยงเบนของความถี่ด้วยฟังก์ชันความหนาแน่นของความน่าจะเป็นดังสมการ

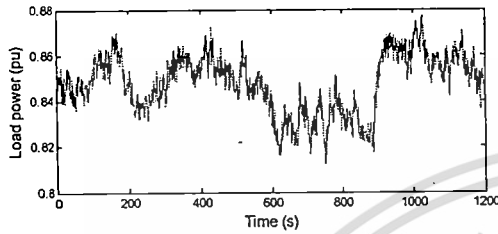
$$f(x) = \frac{1}{\sigma\sqrt{2\pi}} \exp\left[-\frac{1}{2}\left(\frac{x-\mu}{\sigma}\right)^2\right] \quad (7)$$

เมื่อ $f(x)$ คือฟังก์ชันความหนาแน่นของความน่าจะเป็นแบบการแจกแจงปกติ, σ คือค่าเบี่ยงเบนมาตรฐาน, x คือค่าที่ทำการสุ่มหาในที่นี้หมายถึง Δf และ μ คือค่าเฉลี่ย รูปที่ 11 และ 12 แสดงฟังก์ชันความน่าจะเป็นของตัวควบคุมเปรียบเทียบและที่นำเสนอ ตามลำดับ เมื่อเกิดการเปลี่ยนแปลงพารามิเตอร์ระบบ T_r , T_g , D และ M พร้อมกันทั้งหมดเป็น -10%, -20%, -30% และ -40% จากค่าปกติ จะเห็นได้ว่าตัวควบคุมเปรียบเทียบมีการเปลี่ยนแปลงไปอย่างมากในขณะที่ของตัวควบคุมที่นำเสนอ นั้นแทบไม่เปลี่ยนแปลงเลย ผลการศึกษานี้แสดงให้เห็นว่าตัวควบคุมที่นำเสนอ นอกจากจะมีสมรรถนะแล้ว ยังมีความทนทานต่อการเปลี่ยนแปลงพารามิเตอร์ในระบบสูงกว่าตัวควบคุมเปรียบเทียบมาก

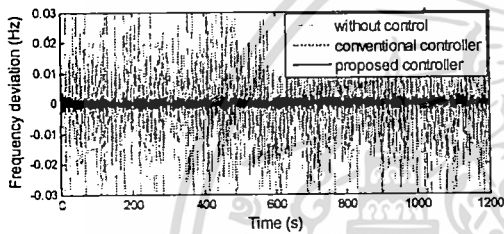




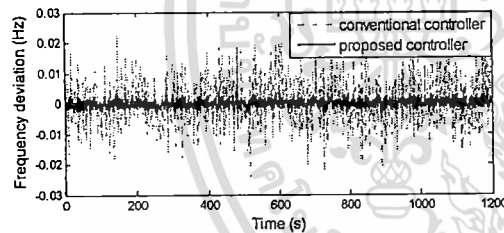
รูปที่ 5 กำลังไฟฟ้าที่ได้จากฟาร์มกังหันลม



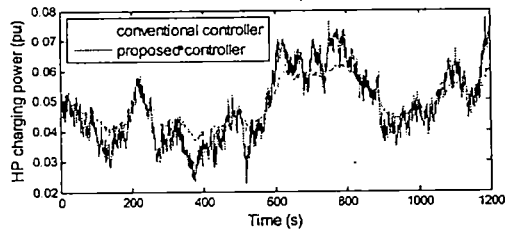
รูปที่ 6 กำลังไฟฟ้าของโหลด



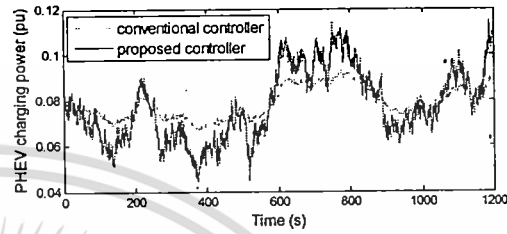
รูปที่ 7 ความเบี่ยงเบนความถี่เมื่อไม่เปลี่ยนแปลงพารามิเตอร์ระบบ



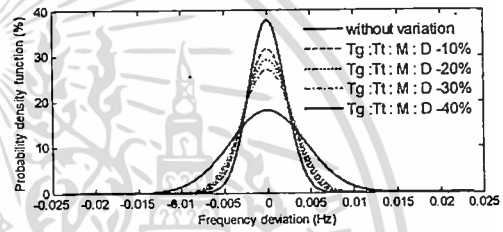
รูปที่ 8 ความเบี่ยงเบนความถี่เมื่อเปลี่ยนแปลงพารามิเตอร์ระบบ



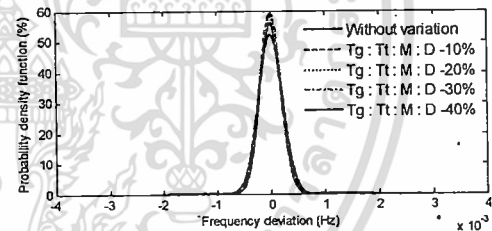
รูปที่ 9 กำลังไฟฟ้าที่รับเข้าของ HP เมื่อเปลี่ยนพารามิเตอร์ระบบ



รูปที่ 10 กำลังไฟฟ้าที่รับเข้าของ PHEV เมื่อเปลี่ยนพารามิเตอร์ระบบ



รูปที่ 11 ฟังก์ชันความน่าจะเป็นของตัวควบคุมเปรียบเทียบกับ



รูปที่ 12 ฟังก์ชันความน่าจะเป็นของตัวควบคุมที่นำเสนอ

5. สรุป

บทความนี้นำเสนอการควบคุมความถี่อย่างทันท่วงทีด้วย การควบคุมการรับกำลังไฟฟ้าของปั๊มความร้อนและรถไฟฟ้าปลั๊กอินไฮบริดในระบบสมาร์ตไมโครกริดซึ่งได้รับผลกระทบจากกำลังไฟฟ้าไม่สม่ำเสมอที่ผลิตจากฟาร์มกังหันลม ตัวควบคุมที่ใช้เป็นแบบพีไอดีซึ่งปรับค่าให้เหมาะสมด้วยวิธีกลุ่มอนุภาคโดยใช้หลักการควบคุมผสม H_2/H_∞ เพื่อให้สามารถตอบสนองต่อความไม่แน่นอนต่างๆ ในระบบ ผลการศึกษาชี้ให้เห็นว่าสมรรถนะในการควบคุมความถี่และความทนทานต่อการเปลี่ยนแปลงพารามิเตอร์ระบบของตัวควบคุมของ HP และ PHEV ที่นำเสนอมีสูงกว่าตัวควบคุมเปรียบเทียบ

เอกสารอ้างอิง

- [1] A. Yokoyama, "Smarter grid I," *IEEJ Journal*, Vol.30, No.2, 2010.
- [2] A. Yokoyama, "Smarter grid II," *IEEJ Journal*, Vol.30, No.3, 2010.
- [3] D.W. Gu, *Robust control design with MATLAB*, Springer, 2005.
- [4] J. Kennedy and R. Eberhart, "Particle swarm optimization," *Proc. IEEE Inter. Conf. Neural Networks*, pp.1942-48, 1995.
- [5] T. Senjyu, et al., "A frequency control approach by decentralized control of loads in small power systems," *IEEJ Trans. Power & Energy*, Vol.129, No.9, pp.1074-80, 2009.
- [6] T. Yanabe, Heat pump, สมาคมส่งเสริมเทคโนโลยีไทยญี่ปุ่น 2551.

